PCT

ORGANISATION MONDIALE DE LA PROPRIETE INTELLECTUELLE Bureau international



ru du	TRAITE DE COOPERATION EN MATIERE DE BREVETS (PCT)
	(11) Numéro de publication internationale: WO 98/49274
A1	(43) Date de publication internationale: 5 novembre 1998 (05.11.98)
	DE, DK, ES, FI, FR, GB, GR, IE, IT, LU, MC, NL, PT,
(29.04.9	7) SE).
Geiler	
AMBO	J,
e l'Opéi	a,
TNI DN	EINS OF THE THERMOCOCCUS FUMICOLANS SPECIES
r intei	NES DE L'ESPECE THERMOCOCCUS FUMICOLANS
polyme of 890	rase, thermostable archae bacteria DNA polymerase of the <i>Thermococcus</i> 00 daltons and its thermostable inteins.
rase pur laire de	ifiée thermostable ADN polymérase thermostable d'archaebactéries de l'ordre de 89 000 daltons, ainsi que ses intéines thermostables.
	APPL Geiler of FR). APPL Geiler of FR). OU, Jonambon Plouzar e l'Opér. TINTEIL

UNIQUEMENT A TITRE D'INFORMATION

Codes utilisés pour identifier les Etats parties au PCT, sur les pages de couverture des brochures publiant des demandes internationales en vertu du PCT.

AL	Albanie	ES	Espagne	LS	Lesotho	SI	Slovénie
AM	Arménie	FI	Finlande	LT	Lituanie	SK	Slovaquie
AT	Autriche	FR	France	LU	Luxembourg	SN	Sénégal
AU	Australie	GA	Gabon	LV	Lettonie	SZ	Swaziland
AZ	Azerbaïdjan	GB	Royaume-Uni	MC	Monaco	TD	Tchad
BA	Bosnie-Herzégovine	GE	Géorgie	MD	République de Moldova	TG	Togo
BB	Barbade	GH	Ghana	MG	Madagascar	ТJ	Tadjikistan
BE	Belgique	GN	Guinée	MK	Ex-République yougoslave	TM	Turkménistan
BF	Burkina Faso	GR	Grèce		de Macédoine	TR	Turquie
BG	Bulgarie	HU	Hongrie	ML	Mali	TT	Trinité-et-Tobago
BJ	Bénin	IE	Irlande	MN	Mongolie	UA	Ukraine
BR	Brésil	IL	Israël	MR	Mauritanie	UG	Ouganda
BY	Bélarus	IS	Islande	MW	Malawi	US	Etats-Unis d'Amérique
CA	Canada	IT	Italie	MX	Mexique	UZ	Ouzbékistan
CF	République centrafricaine	JP	Japon	NE	Niger	VN	Viet Nam
CG	Congo	KE	Kenya	NL	Pays-Bas	YU	Yougoslavie
CH	Suisse	KG	Kirghizistan	NO	Norvège	$\mathbf{z}\mathbf{w}$	Zimbabwe
CI	Côte d'Ivoire	KP	République populaire	NZ	Nouvelle-Zélande		
CM	Cameroun		démocratique de Corée	PL	Pologne		
CN	Chine	KR	République de Corée	PT	Portugal		
CU	Cuba	KZ	Kazakstan	RO	Roumanie		
CZ	République tchèque	LC	Sainte-Lucie	RU	Fédération de Russie		
DE	Allemagne	LI	Liechtenstein	SD	Soudan		
DK	Danemark	LK	Sri Lanka	SE	Suède		
EE	Estonie	LR	Libéria	$\mathbf{s}\mathbf{G}$	Singapour		

WO 98/49274 PCT/FR97/00761

ADN POLYMERASE THERMOSTABLE ET INTEINES DE L'ESPECE THERMOCOCCUS FUMICOLANS

La présente invention concerne une nouvelle ADN polymérase thermostable ainsi que ses deux intéines, provenant d'une archaebactérie de l'espèce *Thermococcus fumicolans*.

5

10

15

20

25

30

35

Les ADN polymérases sont des enzymes impliquées dans la réplication et la réparation de l'ADN dans toute cellule vivante. On connaît aujourd'hui de nombreuses ADN polymérases isolées de micro-organismes tel que E. coli (ADN polymérase I) ou du phage T4. Des ADN polymérases ont aussi été identifiées et purifiées et à partir de micro-organismes thermophiles comme Thermus aquaticus (Taq polymérase, Chien, A. et al. J. Bact. 127:1550-1557; Kaladin et al. Biokhymiya 1980, 45:644-651), Thermus thermophilus, ou encore des espèces du genre Bacillus (demande de brevet Européen publiée sous le No. 699 760), Thermococcus (demande de brevet Européen No. 455 430), Sulfolobus et Pyrococcus (demande de brevet Européen publiée sous le No. 547 359). Parmi ces ADN polymérases issues d'archaebactéries on peut citer la isolées de *Pyrococcus furiosus* (18), la Vent™ polymerase de Thermococcus litoralis (10), la 9°N de Pyrococcus sp. 9°N (15) et la DeepVent™ de Pyrococcus GB-D, les deux premières provenant de souches du littoral (Baie de Naples), les deux suivantes de souches sousmarines profondes.

Le mécanisme d'action des ADN polymérases est aujourd'hui relativement bien connu et consiste en une réplication de l'ADN à l'identique selon un mode semiconservatif. Le brin recopié sert de matrice et les quatre nucléotides triphosphates sont le substrat de cette polymérisation. Les enzymes ayant une activité ADN polymérase sont aujourd'hui de plus en plus utilisées in vitro afin de travailler en biologie moléculaire dans divers buts tels le clonage, la détection d'erreurs, le

séquençage, le marquage, et de façon générale, l'amplification de séquences d'acides nucléiques.

5

10

15

20

25

30

35

Cette amplification, in vitro, de séquences d'acide désoxyribonucléique fait appel à la technique de la réaction de polymérisation en chaine (PCR) décrite dans les brevets Européens No. 200 362 et 201 184. Le principe de cette technique est basé sur la réalisation de cycles successifs d'extension d'amorces mettant en oeuvre les quatre nucléotides triphosphates ainsi qu'une ADN polymérase et un ADN matrice à recopier. A chaque cycle, l'enzyme double le nombre de brins d'ADN disponibles et entre chaque cycle une thermodénaturation est nécessaire afin d'ouvrir la double hélice d'ADN pour le cycle suivant. Les températures utilisées pour cette étape de thermodénaturation ne sont pas compatibles avec la conservation de l'activité de la plupart des ADN polymérases connues, telle la Klenow. C'est ainsi que des nombreux efforts de recherche ont été réalisés afin de trouver des enzymes supportant ces températures.

Cependant, si les micro-organismes thermophiles sont aujourd'hui connus, il reste encore difficile d'obtenir ces enzymes thermostables avec des rendements de production suffisants. La biologie moléculaire et le génie génétique permettent de palier cet inconvénient. Ainsi, une fois repéré dans le génome, le gène codant pour l'ADN polymérase est cloné, séquencé puis recloné dans un vecteur d'expression afin de produire la protéine dite alors recombinante, chez un hôte mésophile plus aisé à cultiver tel *E. coli* ou *S. cerevisiae*. Cette méthode d'expression chez *E. coli* a notamment été décrite dans la demande de brevet internationale PCT publiée sous le No. WO 89/06691 pour produire l'ADN polymerase de Thermus aquaticus.

L'ADN polymérase de l'invention provient d'une archaebactérie de l'espèce *Thermococcus fumicolans*. Outre ses propriétés thermostables la rendant particulièrement efficace notamment dans une processus de PCR, cette ADN

polymérase est remarquable en ce qu'elle présente deux "introns protéiques", encore appelés "intéines", au niveau de son polypeptide précurseur.

La séquence nucléotidique de ses intéines est insérée dans celle de l'ADN polymérase, généralement au niveau de sites conservés impliqués, après traduction, dans les réactions catalytiques. Ces séquences sont transcrites et traduites en même temps que celle de l'ADN polymérase et l'épissage autocatalytique des intéines produit alors trois enzymes: deux intéines et une ADN polymérase.

5

10

15

20

25

30

35

On trouve de telles intéines également au sein d'autres molécules telles l'ATPase vacuolaire chez S. cerevisiae (4), GyrA chez Mycobacterium leprae (7), Rec A chez Mycobacterium tuberculosis (5, 6). Les intéines font partie pour leur majorité de la famille des endonucléases de type "homing endonucleases" puisqu'elles coupent l'ADN en un site reconnu, à l'endroit même où leur séquence nucléotidique vient s'insérer.

Le développement des biotechnologies tant dans la recherche que dans les domaines de la médecine ou de l'agro-alimentaire, nécessite de disposer de divers types d'ADN polymérases susceptibles d'améliorer quantitativement et qualitativement des techniques aussi diverses que le clonage, la détection, l'amplification de séquences d'ADN. La présente invention vise précisément à offrir une nouvelle ADN polymérase thermostable qui est issue d'une espèce récemment décrite: Thermococcus fumicolans (8). Cet isolat a été isolé à partir de fragments de cheminées prélevées dans le bassin Nord-Fidgien lors de la campagne franco-japonnaise STARMER en 1989. Cette espèce, anaérobie stricte, présente une température optimale de croissance de 90°C, ce qui est relativement élevé pour un Thermococcus. Son pH optimum est de 8,8, et son taux de salinité de 20 g/l à 40 g/l.

L'invention a donc pour objet une ADN polymérase purifiée thermostable d'archaebacteries de

l'espèce Thermococcus fumicolans ayant un poids moléculaire de l'ordre de 89000 Da ainsi que ses intéines thermostables, dont le gène comportant les deux séquences codant pour lesdites intéines a été cloné.

Les travaux de recherche ayant permis d'identifier, de séquencer et d'étudier l'ADN polymérase de l'invention ont été réalisée à partir de la souche Thermococcus fumicolans ST557 déposée à la Collection de l'Institut Pasteur (CIP) sous le numéro CIP 104680. Cette ADN polymerase sera dénommée dans ce qui suit Tfu. Sa séquence de 774 acides aminés est représentée dans la liste de séquences en annexe sous le numéro SEQ ID NO:2. Un poids moléculaire de 89797 Da et un pI de 8.1 ont été déduits de cette séquence.

15

20

25

30

35

10

5

L'invention concerne donc l'ADN polymérase purifiée thermostable d'archaebactéries de l'espèce Thermococcus fumicolans ayant un poids moléculaire de l'ordre de 89 000 daltons ainsi que ses dérivés enzymatiquement équivalents. On entend par dérivés enzymatiquement équivalent, les polypeptides et protéines constitués par ou comprenant la séquence en acides aminés représentée dans la liste de séquences en annexe sous le numéro SEQ ID NO:2 dès lors qu'ils présentent les propriétés de l'ADN polymérase de Thermococcus fumicolans. A ce titre l'invention envisage plus particulièrement une ADN polymérase dont la séquence en acides aminés est représentée dans la liste de séquence en annexe sous le numéro SEQ ID NO:1 ou un fragment de celle-ci ou encore un assemblage de tels fragments, comme la séquence de 774 acides aminés représentée dans la liste de séquences en annexe sous le numéro SEQ ID NO:2.

En effet, la présence de deux intéines I-Tfu-1 et I-Tfu-2 dans la séquence numéro SEQ ID NO:1, sont susceptibles de conduire lors de la préparation par synthèse chimique ou par génie génétique, à des séquences d'ADN polymérase de T. fumiculans tronquées dont les

10

15

20

25

30

35

propriétés enzymatiques sont équivalente à celle de l'ADN polymérase de *T. fumicolans* purifiée.

On entend aussi par dérivés, les séquences en acides aminés ci-dessus modifiées par insertion et/ou délétion et/ou substitution d'un ou plusieurs aminoacides, pour autant que les propriétés de l'ADN polymérase de *T. fumicolans* qui en résultent ne soient pas significativement modifiées.

L'invention concerne également une séquence d'ADN constituée par ou comprenant la séquence codant pour une ADN polymérase de l'invention.

La séquence d'ADN représenté dans la liste de séquences en annexe sous le numéro SED ID NO: 1 représente une telle séquence. L'ADN codant pour l'ADN polymérase de T. fumicolans et ses deux intéines est constituée par le nucléotides 357 à 5028. Les nucléotides 1 à 356 correspondent à la région promotrice de ce gène. En conséquence, l'invention a pour objet une séquence d'ADN constituée par ou comprenant la séquence comprise entre les nucléotides 357 à 5028 de la SED ID NO: 1, ou un fragment de celle-ci ou encore un assemblage de tels fragments.

l'invention se rapporte tout particulièrement à une séquence d'ADN constituée par ou comprenant les nucléotides 357 à 1674 et 2755 à 3156 et 4324 à 5028 de la séquence d'ADN représenté dans la liste de séquences en annexe sous le numéro SED ID NO: 1.

Cette séquence code pour l'ADN polymérase de T. fumicolans dont la séquence de 774 acides aminés est représentée dans la liste de séquences en annexe sous le numéro SED ID NO: 2.

L'invention concerne autant l'ADN polymérase isolées et purifiées de la souche *Thermococcus fumicolans* que l'ADN polymérase préparées par synthèse chimique, par exemple par ligature de fragments polypeptidiques, ou encore par les méthodes du génie génétique.

Dans le cadre de ces méthodes du génie génétique, l'invention a aussi pour objet un vecteur comprenant une séquence d'ADN définie précédemment, ainsi qu'un procédé de production ou d'expression dans un hôte cellulaire des ADN thermostables de l'invention.

Un procédé de production d'une ADN polymérase conforme à l'invention consiste:

5

10

15

20

25

30

35

- à transférer une séquence d'acide nucléique codant pour l'ADN polymérase ou un vecteur contenant ladite séquence dans un hôte cellulaire,
- à cultiver l'hôte cellulaire obtenu à l'étape précédente dans des conditions permettant la production de l'ADN polymérase,
- à isoler, par tous moyens appropriés, ladite
 ADN polymérase.

L'hôte cellulaire mis en oeuvre dans les procédés précédents peut être choisi parmi les procaryotes ou les eucaryotes et notamment parmi les bactéries, les levures, les cellules de mammifères, de plantes ou d'insectes.

Le vecteur utilisé est choisi en fonction de l'hôte dans lequel il sera transféré.

L'ADN polymérase thermostable de l'invention est utile notamment dans les procédés d'amplification enzymatique de séquences d'acides nucléiques. En conséquence, l'invention a pour objet, de tels procédés mettant en oeuvre l'ADN polymérase thermostable décrite précédemment, ainsi que les kits d'amplification comprenant, outre les réactifs généralement utilisés, une quantité adéquate de cette ADN polymérase.

L'invention a également pour objet une intéine purifiée thermostable d'archaebactéries de l'espèce Thermococcus fumicolans.

Comme indiqué précédemment, les intéines sont aussi définies comme des introns protéiques qui sont non pas épissés au niveau de l'ARN méssager mais au niveau

d'une maturation protéique. Elles relèvent donc d'un seul gène traduit et transcrit en une seule étape, et constituent des sous produits de la maturation de la protéine codée par ce gène (Xu, M.G., Comb, D.G., Paulus H., Noren C.J., Shao Y., Perler, F.,1994, Protein splicing: an analysis of the branched intermediate and its resolution by succinimidine formation. EMBO J. 13, 5517-5522.)

5

10

15

30

35

Les intéines sont des endonucléases de restriction qui ont la propriété de couper l'ADN à l'endroit même où s'insère leur gène, et en conséquence, elles peuvent être considérées comme des séquences égoïstes.

Les intéines possèdent dans leur séquence toute l'information nécessaire à leur propre épissage puisqu'elles s'épissent dans $E.\ coli$.

Il est possible de distinguer quatre grandes étapes de maturation protéique :

- Une première étape de formation d'un intermédiaire linéaire qui possède une fonction ester. Cette réaction est dépendante du pH et de l'environnement local de cette liaison (nature des acides aminés). Ce principe est utilisé dans les kits de clonage, d'expression ou de purification mettant en oeuvre des intéines, car un changement de l'environnement provoque ou non un épisssage. En effet, celui-ci serait inhibé à pH 11 et activé à pH 7,5.
 - Une deuxième étape de transestérification qui permet de transformer l'intermédiaire précédent et de déplacer l'équilibre de la première étape.
 - La troisième étape consiste en une cyclisation de l'asparagine libérant l'intéine.
 - La quatrième étape est la stabilisation de la protéine mature et la formation d'une réelle liaison peptidique.

Il est donc possible de construire des mutants thermosensibles permettant de bloquer l'épissage

protéique aux températures d'expression (30°C) et de l'induire par chauffage.

5

10

15

20

25

30

35

Cette possibilité de contrôle de l'épissage protéique par la température peut-être utilisée dans des vecteurs de clonage avec une séquence codant pour l'intéine et des sites de clonage autour. Si la protéine à cloner et à exprimer est toxique pour l'hôte, on peut la cloner en deux fragments autour de la séquence d'intéine. Ainsi, globalement, le gène à cloner est complet mais il est interrompu par la séquence de l'intéine. Lors de l'expression, l'intéine se retrouve dans la protéine exprimée, la rendant ainsi inactive. Il alors possible par chauffage, à la fin de l'induction, de libérer l'intéine par épissage autocatalytique et ainsi retrouver la protéine clonée active.

Les intéines permettent ainsi de réaliser des purifications et sont utilisés dans des kits selon le principe décrit ci-après. Certains résidus autour de site d'épissage de l'intéine sont modifiés. L'expression de la protéine recombinante est réalisée à basse température pour bloquer un éventuel épissage trop précoce. En Cterminal de l'intéine est fixé un site ayant une forte affinité pour la chitine. Lors de l'induction, protéine clonée est exprimée ainsi que l'intéine et le site de fixation à la chitine. La purification est alors réalisée avec la chitine, sur des colonnes d'affinité, qui retiennent la chitine et aussi l'intéine et la protéine clonée, le tout faisant partie de la même préprotéine. On hydrolyse alors l'extrémité N-terminale de l'intéine avec du DTT ou du β -mercaptoéthanol pour libérer la protéine clonée.

Les intéines sont aussi des endonucléases de restrictions thermostables, qui ont pour site de reconnaissance l'endroit même où s'insère leur gène dans la séquence "hôte". Elles possèdent une séquence nucléique répétée deux fois (LAGLIDADG) dans la protéine,

10

15

20

25

30

35

séquence plus ou moins conservée et qui correspond au site actif de reconnaissance et de coupure de l'ADN. Ces enzymes semblent aussi avoir besoin de Mg++ pour leur activité.

Il convient de remarquer que les deux intéines de l'invention sont coexprimées dans E. coli et sont autoépissées. Ce qui signifie qu'elle n'ont pas de toxicité pour l'hôte, à la différence de l'une des intéines de Thermococcus litoralis (9), et en conséquence leur utilisation dans des kits d'expression ou de purification est aisée.

Une première séquence d'intéine selon l'invention est représentée dans la liste de séquences en annexe sous le numéro SEQ ID NO:3. Cette intéine, dénommée I-Tfu-1, présente un poids moléculaire de 41 409 Da et un pI de 9,13, déduits de la séquence de 360 acides aminés de la séquence SEQ ID NO:3.

Une seconde séquence d'intéine selon l'invention est représentée dans la liste de séquences en annexe sous le numéro SEQ ID NO:4. Cette intéine, dénommée I-Tfu-2, présente un poids moléculaire de 44 765 Da et pI de 9,6, déduits de la séquence de 389 acides aminés de la séquence SEQ ID NO:4.

Comme rappelé précédemment, les intéines thermostables de l'invention sont utiles notamment dans les procédés de restriction d'acides nucléiques et dans la mise au point de vecteurs d'expression permettant de réduire la toxicité de la protéine à exprimer en insérant l'une des deux séquences d'intéines dans la séquence de la protéine à exprimer. Ceci peut se faire sans manipulation de la séquence des intéines si le clonage s'effectue chez *E. coli*, les techniques d'expression utilisées ayant démontré leur inocuité pour cet organisme hôte. En conséquence, l'invention a pour objet, de tels procédés mettant en oeuvre l'une des deux ou les deux intéines thermostables décrites précédemment, ainsi que les kits d'expression ou de purification contenant l'une

ou les deux séquences codant pour les dites intéines thermostables.

L'invention concerne également une séquence d'ADN constituée par ou comprenant la séquence codant pour une intéine de l'invention.

5

10

15

20

25

30

35

Une séquence d'ADN codant pour l'intéine I-Tfu-1 est comprise entre les nucléotides 1675 et 2754 dans la séquence SED ID NO: 1 en annexe. Cette séquence d'ADN code pour l'intéine dont la séquence en acides aminés est représentée dans la liste de séquences en annexe sous le numéro SED ID NO: 3.

Une séquence d'ADN codant pour l'intéine I-Tfu-2 est comprise entre les nucléotides 3157 et 4323 dans la séquence SED ID NO: 1 en annexe. Cette séquence d'ADN code pour l'intéine dont la séquence en acides aminés est représentée dans la liste de séquence en annexe sous le numéro SED ID NO: 4.

L'invention concerne autant ces intéines thermostables isolées et purifiées de la souche Thermococcus fumicolans que des intéines préparées par synthèse chimique, par exemple par ligature de fragments polypeptidiques, ou encore par les méthodes du génie génétique.

Dans le cadre de ces méthodes du génie génétique, l'invention a aussi pour objet un vecteur comprenant une séquence d'ADN définie précédemment, ainsi qu'un procédé de production ou d'expression dans un hôte cellulaire des ADN codant pour les intéines de l'invention. De tels procédés sont identiques à ceux rapportés précédemment pour l'ADN polymérase de T. fumicolans.

D'autres avantages et caractéristiques de l'invention apparaitront à la lecture des exemples qui suivent, donnés à titre non limitatifs et concernant le clonage, l'expression, la caractérisation et l'activité de l'ADN thermostable de l'invention, et se référant aux dessins annexés dans lesquels :

- La figure 1 représente l'hybridation ADN-ADN de l'ADN génomique de *T. fumicolans* digéré par diverses enzymes de restriction et hybridé avec les sondes GE23ClaI-HindIII et GE23XhoI-SalI.
- La figure 2 représente la stratégie de clonage, la structure du gène de l'ADN polymérase de T. fumiculans et les produits du gène.
- La figure 3 représente les résultats de purification de la polymérase recombinante de T. fumicolans après une colonne d'héparine sépharose, visualisés par SDS-PAGE.
- La figure 4 représente les résultats de purification de la polymérase recombinante de T. fumiculans après une colonne Bleue HTrap n°2, visualisé par SDS-PAGE.
 - La figure 5 représente les résultats de purification de la polymérase recombinante de *T. fumicolans* après une colonne de phosphocellulose, visualisés par SDS-PAGE.
 - La figure 6 représente les résultats de purification de la polymérase recombinante de *T. fumicolans* après une colonne MonoQ, visualisés par SDS-PAGE.
 - La figure 7 représente les résultats de PCR avec l'ADN polymérase de *T. fumicolans* avec les fractions d'exclusion de la colonne MonoQ.
- 30 I- <u>Matériel et méthodes</u>.

5

20

25

1) <u>Conditions de culture, plasmides et souches</u> <u>utilisées.</u>

Les souches Thermococcus litoralis (DSM 5474^T)

et Pyrococcus furiosus (DSM 3638^T) ont été obtenues auprès de la collection du Deutsche Sammlung von Microorganismen (DSM) Braunschweig-Stocheim, Allemagne.

La souche *Pyrococcus* sp. GE 23 a été isolée de cheminées de sources hydrothermales profondes et a été fournie par G Erauso (CNRS, Station Biologique de Roscoff, France). La souche *Thermococcus fumicolans* à été obtenue auprès du laboratoire de Microbiologie Marine de G. Barbier (IFREMER-DRV-VP-CMM) à Brest, France. Cette souche, *Thermococcus fumicolans* à été obtenue par purification à partir de fragments de cheminées hydrothermales receuillies dans le bassin nord-Fidgien lors de la campagne franco-japonaise STARMER effectuée en 1989 à 2000 mètres de profondeur.

5

10

15

20

25

30

35

Pyrococcus sp.GE23 a été cultivée à 85° C dans un milieu 2216S (DIFCO) à un pH de 6,5.

Thermococcus fumicolans, décrite en 1996 (Godfroy et al.) est cultivée en conditions anaérobies dans un milieu contenant les éléments suivants: peptone 2g/l; extraits de levure 0,5g/l; sel de mer (Sigma) 30g/l; tampon PIPES 6,05g/l, soufre élémentaire 10g/l, rézasurine 1mg/l. Le pH est ajusté à 8,5 par de la soude 5N à 20°C.

La souche de Escherichia coli SURE (Stratagene, La Jolla, Calif.) a été cultivée dans du milieu LB avec le ou les antibiotiques appropriés, à 37°C sous agitation. Cette souche a été utilisée comme hôte pour recevoir les constructions primaires à partir des vecteurs pUC 18 ou pBluescript. Les souches NovaBlue, BL21(DE3) et BL21(DE3)pLysS (Novagen, Madison, Wi.) ont été cultivées dans du milieu 2xYT avec les antibiotiques appropriés à 37°C ou 30°C. Ces souches ont été utilisées commes hôtes pour les plasmides d'expression.

2) <u>Isolement de l'ADN, hybridation et ADN</u> recombinants.

L'ADN de haut poids moléculaire de Thermococcus fumicolans a été isolé par la méthode de Charbonnier modifiée (3). Les cellules ont été resuspendues dans un tampon TE-Na 1X, puis lysées à 40°C pendant trois heures

10

15

20

25

30

35

avec un mélange de N-Lauryl-sarcosine 1%, dodecyl sulfate de sodium 1% et 0,4 mg/ml de protéinase K. Après la lyse, une centrifugation à 5000g pendant 10 minutes permet d'éliminer les débris cellulaires. L'ADN est extrait par un traitement au Phenol-Chloroforme-alcool Isoamylique ou PCI (25-24-1), puis traité par la RNAse à 5µg/ml à 60°C pendant une heure. Ces étapes sont suivies de deux extractions additionelles par PCI et d'une extraction au chlorophorme. L'ADN est ensuite précipité à l'éthanol absolu à -20°C, puis centrifugé, sèché à l'air et repris dans un tampon TE-1x. La concentration et la pureté de cet ADN sont mesurées par spectrophotométrie à 230, 260 et 280nm avec un appareil GeneQuantII (Pharmacia, Upsalla, Sweden). Pour la construction de la mini-banque génomique en pUC 18 (17), l'ADN a été totalement digéré pendant une nuit à 37°C par une série d'enzymes de restriction (BamHI, HindIII, EcoRI, EcoRV, PvuII, SalI, XbaI et XhoI) par simples et doubles digestions. Puis les fragments d'ADN sont fractionnés sur gel d'agarose à 0,8% dans de TBE-1X et transférés sous vide sur une membrane de nylon Hybond-N+ (Amersham, UK). Ces membranes ont été hybridées avec des sondes d'ADN préparées par PCR avec des amorces spécifiques sélectionnées à partir des gènes d'ADN polymérases de P. furiosus, T. litoralis et Pyrococcus sp. GE23. Ces sondes sont préalablement marquées au ³²P par "random priming" conformément aux recommandations du fabricant (Megaprime, Amersham, UK). Deux sondes de P. furiosus ont été utilisées, Pfu et Pfu F, couvrant respectivement les régions délimitées par les paires de bases 8 à 2316 et 819 à 1915 de la section codante du gène de la polymérase comme défini par Uemori et al. (18). Deux sondes de T. litoralis, Tli I et Tli T, couvrant respectivement les régions délimitées par les paires de bases 297 à 1768 et 4631 comme défini par Hodges et al. (9). Deux sondes de Pyrococcus sp GE23 ont été utilisées, l'une contenant la partie 5′ du gène (fragment ClaI-HindIII

10

15

20

25

30

35

correspondant aux sites pb 8 et pb 1353 de la section codante) et l'autre contenant la partie terminale de ce même gène obtenu par PCR (amorces dites d'expression NdeI et SalI correspondant aux sites pb -1 et pb 2318, puis digestion par XhoI et SalI comprenant les bases du no 1879 à 2318). Les fragments positifs ont été identifiés par hybridation ADN-ADN (14). Seules les hybridations avec les sondes de Pyrococcus sp. GE 23 ont fourni des signaux positifs à 55°C en moins de 24 h d'exposition. Les sondes issues de T. litoralis et de P. furiosus n'ont donné aucun résultat, même à 50°C dans un tampon standard sans formamide. A partir des hybridations avec les sondes de Pyrococcus sp. GE 23, des fragments HindIII de 1,9 kb ont été sélectionnés, puis préparés par une digestion appropriée de 100µg d'ADN génomique, purifiés dans des sacs de dialyse à partir des gels d'agarose, précipités à l'éthanol absolu après une extraction au PCI. Les fragments ont été ligaturés dans un pUC 18/HindIII déphosphorylé. Les transformations des souches hôtes ont été réalisées par électroporation (Gene Pulser, Biorad). Le criblage des clones recombinants a été effectué par sélection à l'ampicilline, complémentation sur substrat X-Gal-IPTG puis hybridation de colonies selon les techniques standards (12). La température des hybridations de colonies était de 55°C avec les sondes de Pyrococcus sp GE23, dans un tampon standard sans formamide. L'ADN plasmidique a été isolé selon la méthode décrite par Birnboim et Doly (1), puis purifié par chromatographie échangeuse d'anions en phase solide (Quiagen, Chatsworth, Calif.). Les fragments de restriction des plasmides ont été purifiés sur gel d'agarose par la méthode du GeneClean (Bio 101, La Jolla, Calif.) pour un clonage ultérieur.

L'ARNr 16S et 23S de *Thermococcus fumicolans* a été amplifié par PCR en utilisant les amorces suivantes :

- amorce directe Aa: 5' TCCGGTTGATCCTGCCGGAA-3'
- amorce réverse 23Sa: 5'-CTTTCGGTCGCCCCTACT-3'

WO 98/49274 PCT/FR97/00761

- étape initiale 3 minutes à 94°C suivi de 30 cycles (94°C, 1 min/49°C, 1 mn/72°C, 2 mn) et, élongation finale de 5 mn à 72°C.

Le produit de PCR a été cloné dans le vecteur pUC18 pour séquençage ultérieur.

3) Séquençage des ADN.

5

10

15

20

25

30

35

Les séquences d'ADN ont été obtenues par la méthode de terminaison de chaine (13) en utilisant un système d'analyses automatique d'ADN Applied Biosystems. Les deux brins des gènes codant pour l'ADN polymérase et les deux intéines ont été séquencés en utilisant des amorces universelles localisées sur des vecteurs ainsi que des amorces internes.

La séquence d'ADNr 16S a été réalisée sur les deux brins, après clonage (SureClone, Pharmacia, Uppsala, Sweeden), en utilisant le kit Hot-Tub (Amersham, UK.) afin de lever les compressions.

L'analyse de séquence a été réalisée avec le logiciel DNASTAR (Madison, Wis., USA) et le programme de Genetic Computer Group (University of Wisconsin Biotechnology Center, Wis., USA) accessible en ligne sur INFOBIOGEN. Les recherches informatisées de similitude ont été réalisées avec le programme BLAST, les alignements multiples avec CLUSTAL V, et les arbres phylogénétiques ont été établis selon la méthode dite de "Neighbour-joining" (11).

4) <u>Construction du recombinant exprimant l'ADN</u> polymérase de <u>Thermococcus fumicolans</u>.

L'ADN polymérase de *Thermococcus fumicolans* ainsi que ses deux intéines, ont été exprimées en même temps chez *E. coli* avec le vecteur d'expression PARHS2 qui appartient à la famille des systèmes d'expression T7 (16) acquis auprès d'Eurogentec.

La PCR a été utilisée pour préparer le fragment complet de l'ADN polymérase et des deux intéines en utilisant des amorces contenant les sites de restriction NdeI et BamHI :

- amorce Tfu Dir :

5'-TGG GGA TCC ATA TGA TCC TCG ATA CAG ACT ACA TC-3'

- amorce Tfu Rev :

5

10

15

20

25

30

35

5'-AAG CTT GGA TCC TCA TTT CTT CCC CAT TTT GAG CC-3'

Le mélange réactionnel contenait l'ADN polymérase GOLDSTAR (Eurogentec, B), l'enzyme Extender (contenant la Pfu de Stratagene), le tampon d'extension avec les quatre dNTP (chacun à 0,2mM) et les amorces Tfu Dir et Tfu Rev à 50 pmoles dans un volume de 50µl final. L'amplification a été effectuée sur 20 cycles : 1 mn 94°C, 1 mn à 54°C et 6 mn à 72°C en utilisant un thermocycleur Stratagene 96-gradient. Les fragments de PCR ont ensuite été digérés par les enzymes NdeI et BamHI puis ligaturés aux mêmes sites du vecteur, rétablissant ainsi le codon d'initiation. La construction ainsi obtenue a été nommée PARHS2TFU1. Cette construction a été séquencée aux sites de jonction afin de vérifier son intégrité par rapport à la séquence de l'ADN génomique. Les tests d'expression ont été réalisés selon le protocole suivant: sélection des clones recombinants dans la souche E. coli Novablue, expression avec la souche BL21(DE3)pLysS dans un milieu 2xYT et induction de quatre heures à 1mM d'IPTG.

Les premiers essais d'induction ont été réalisés sur des cultures de 5 ml, induites ou non. Des précultures de nuit sont réalisées sans inducteur et relancées dans un milieu frais le matin (au dizième), jusqu'à ce que la densité optique (mesurée à 600nm) soit de 0,6, puis soit induites pendant 4 heures, soit non induites et arrêtées au bout de 2, 4 ou 14 heures. Quatre ml de cultures sont alors centrifugés à 4°C, 5000rpm pendant 10 minutes. Le culot est ensuite repris dans un tampon de lyse (Tris-HCl 10mM pH 7,5; NaCl 10mM, MgCl2 2 mM). Les cellules ainsi reprises sont alors lysées, soit avec du triton X-100 1% v/v, soit du lysozyme à 1mg/ml de

lyse et laissées sur glace environ 5 à 10 min. Les cellules sont ensuite thermodénaturées par une exposition de 20 min à 72°C. Ceci permet de détruire en grande partie les cellules de l'hôte mésophile sans détruire les protéines recombinantes. Le produit de lyse est ensuite centrifugé 20 min à 10 000rpm à 4°C. Le surnageant est récupéré afin de le tester en incorporation, en PCR ou sur gel. Les incorporations sont réalisées suivant deux techniques :

- Avec de la thymidine tritiée comme traceur. L'incorporation est réalisée sur du thymus de veau activé (SIGMA Aldrich, F) dans le milieu de réaction suivant: Tris-HCl 50mM pH 8,8; DTT 1mM; MgCl₂ 10mM; KCl 10mM; BSA 0,4 mg/ml; chaque dNTP à 0,4 mM.

- Avec du ³²P -dATP (Amersham) comme traceur. L'incorporation est réalisée sur de l'ADN thymus de veau activé (Appligene) dans le milieu de réaction suivant: Tris-HCl pH 9 50mM; KCl 50mM; MgCl₂ 7mM; BSA 0,2mg/ml et (NH4+)SO4 (filtré) 16mM, avec un mélange des 4 dNTP à 500μM final chacun. Cette seconde méthode permet d'estimer avec précision le nombre d'unités d'enzyme.

5) Purification.

a) <u>Culture</u>.

5

15

20

30

35

Après des essais en petits volumes, les cultures destinées à l'expression de l'enzyme recombinante ont été réalisées comme suit: production d'un inoculum de 700 ml (milieu 2x YT complémenté en ampicilline et chloramphénicol) cultivé à 30°C jusqu'à DO = 0,8; ensemencement d'un fermenteur contenant 16 l du même milieu; culture pendant 4 h jusqu'à DO= 0,6, puis induction à l'IPTG 1 mM et culture pendant 4 h. La biomasse résultante est centrifugée 20 mn à 6 000 rpm à 4°C (Centrifugeuse JOUAN).

b) Lyse cellulaire et première étape de purification.

20 g de biomasse sont repris dans 80 ml de tampon (20 mM Tris-Cl pH 7,5; 10 mM NaCl; 2 mM MgCl2; 1 mM EGTA; 1% Triton x100; 2,2 mM PMSF). Le mélange résultant, maintenu à 4°C maximum, est soniqué à 12 reprises successives (cycle de 15 s) jusqu'à obtention d'une solution liquide. Le surnageant est ensuite centrifugé 20 mn à 4°C à 20 000 rpm (SORVALL Ti45). Le surnageant est récupéré et traité par la chaleur (70°C pendant 10 mn) afin de thermodénaturer l'essentiel des protéines natives de *E. coli*, puis centrifugé à nouveau.

c) Chromatographie.

5

10

15

20

25

30

35

Les 70 ml de surnageant issus de l'étape précédente sont chargés sur une colonne Pharmacia Héparine Sépharose (30 ml de résine), après équilibration avec un tampon A (10 mM Tris-Cl pH 7,5; 0,5 mM EGTA; 5 mM MgCl2; 10 mM β -mercaptoéthanol; 0,2% Triton x100 et 10% glycérol. Un lavage est effectué avec un tampon B (idem tampon A + 2 M NaCl) à raison de 0,3 ml/mn sur un système FPLC Pharmacia. Les différentes fractions sont récupérées en gradient de NaCl.

Les fractions actives ainsi récupérées sont dialysées pendant 5 h contre un tampon C: 10 mM Tris-Cl pH 7,5; 0,5 mM EGTA; 5 mM MgCl2; 10 mM -mercaptoéthanol; 0,2% Triton x100; 10% glycérol; 50 mM NaCl. Les produits issus de dialyse sont successivement chargés sur une colonne d'affinité pour les protéines se liant à l'ADN (Pharmacia, Bleue HiTrap) et élués en gradient de NaCl avec les mêmes tampons que précédemment.

30ml de fractions actives obtenues précédemment sont chargées sur une colonne de phosphocellulose avec de la résine P11 de Whatmann (volume:20ml; diamètre:2,5cm). Ces fractions ont été dialysées 5 heures contre le tampon suivant : KPO4 pH7 20mM, EDTA 0,1mM, DTT 1mM, Glycérol 5%, Triton X-100 0,1% et KCl 0,1M. Le débit de

10

15

20

25

30

35

la colonne est réglé à 0,2ml/min, le tampon A de chargement est composé de KPO4 pH7 20mM, EDTA 0,1mM, DTT 1mM, Glycérol 5%, Triton X-100 0,1% et le gradient (entre 0% et 50% deB) est réalisé par le KCl présent dans tampon B à 2M.

Ayant déjà mis en évidence que cette polymérase ne se fixe pas sur une MonoQ ou une ressource Q et ce, quel que soit le pH utilisé, nous avons essayé de la récupérer en exclusion en faisant l'hypothèse d'une fixation de l'ADN contaminant par la colonne.

Tout d'abord un essai a été réalisé en sortie de la deuxième Bleue HiTrap avec un aliquot de 5ml et dialysé selon la même méthode que pour un passage sur une Bleue HiTrap.

Une deuxième tentative a été réalisée après la phosphocellulose et après deux dialyses des fractions les plus actives 45, 46 et 49. Les fractions sont tout d'abord chauffées 40 min à 85°C. Une première dialyse est alors réalisée contre le tampon KCl 0,1mM, K2HPO4 1M pH7,5 pendant 3 heures. La deuxième dialyse est réalisée avec le tampon suivant : K2HPO4 pH 7,5 10mM, K2PO4 10mM, KCl 25mM, DTT 1mM, Triton X-100 0,1%, Glycérol 10%, pendant 1 heure. La solution est alors chargée sur une colonne MonoQ à 0,5ml/min avec un gradient en NaCl de 0 à 20% (tampons utilisés pour l'Héparine).

6) Activités exonucléasiques.

Les tests d'exonuclease 3'-5' sont quantifiés par la libération de nucléotides marqués au³²p.

A cette fin, une première étape permet de réaliser le marquage: l'ADN de est digéré par HindIII puis, le fragment de Klenow recopie l'ADN à partir des extrémités 3'-OH libres, dans un milieu contenant outre le tampon, l'ADN et l'enzyme, du ³²P dATP et du ³²P dTTP, les dGTPet dCTP étant froids. Après une heure à 37°C, les quatre dNTP froids sont rajoutés en excès pour une demi-

heure. La Klenow et les dNTP sont éliminés par une extraction au phénol et précipités à l'éthanol.

Les tests exonucléasiques sont effectués dans des solutions contenant les tampons des enzymes, 0,02mg/ml d'ADN marqué, et incubées toute la nuit à 72°C, 80°C et 95°C. Différents tampons contenant du MgCl₂ ou du MnSO₄ sont testés. Le même test est réalisé avec la Vent en témoin positif. 101 de solution de réaction sont alors déposés sur papier DE81 (Watmann), séchés puis comptés avant et après lavage (3 fois 5 min avec du Na₂HPO₄, 1 fois à l'eau puis à l'éthanol à 95%) en utilisant la technique de Cerenkov.

Pour le test d'actvité exonucléasique 5'-3', la réaction de marquage utilise la polynucléotide kinase afin de marquer le substrat en 5'.

II - <u>Résultats</u>.

5

10

15

25

30

35

1) <u>Isolement du gène de l'ADN polymérase de</u>
20 <u>Thermococcus fumicolans ainsi que des deux gènes</u>
<u>d'intéines</u>.

L'ADN de Thermococcus fumicolans, digéré par une série d'enzymes de restriction, a été hybridé à des sondes de P. furiosus et T. litoralis, préparées par PCR et aux sondes de Pyrococcus sp. GE23 obtenues lors du clonage de cette autre ADN polymérase (Dépôt de brevet nº96 08631 auprès de l'INPI). Comme montré dans les figures 1a et 1b, l'hybridation de type Southern blot a révélé des fragments de deux types : un fragment HindIII-HindIII de 1,9 kb et un fragment XhoI-XhoI de 5 kb. Ces deux fragments ont été révélés uniquement avec la sonde ClaI-HindIII du gène de Pyrococcus sp. GE23, marquée au 32 P avec une exposition de deux heures. Les deux fragments repérés ont ensuite été récupérés et purifiés comme décrit précédemment dans Matériel et Méthodes puis clonés dans le vecteur pUC18 déphosphorylé et digéré par HindIII ou dans le vecteur pBluescript déphosphorylé et

10

15

20

25

30

35

digéré par XhoI. Environ 400 recombinants (E. Coli SURE) ont été criblés avec la sonde ClaI-HindIII. Sur ces 400 colonies, deux ont donné un signal positif lors de l'hybridation. (n° 9.26 et 12.79). Les deux clones ont été mis en culture en milieu LB-Amp et leurs profils de restriction étaient identiques, avec un insert de 1,8 kb. Le séquençage ultérieur de l'un de ces clones (désigné 557MACa) et la comparaison de séquence (Megalign, programme DNASTAR) ont montré qu'il correspond à la région promotrice et aux 1404 premières paires de base d'un gène d'une ADN polymérase appartenant à la famille B (2).

En ce qui concerne le fragment XhoI-XhoI de 5 kb, 700 recombinants ont été criblés sans aucun signal positif lors de l'hybridation. Cette absence de réussite pourrait être due à la présence d'une intéine au sein de ce fragment, le rendant alors instable dans un vecteur à haut nombre de copies de type pBluescript.

Après 12 heures d'exposition, un deuxième fragment HindIII-HindIII de 2 kb a été repéré par hybridation de type Southern sur la même membrane que précédemment, en utilisant comme sonde marquée la fin du gène de *Pyrococcus* sp. GE23 entre les sites XhoI et SalI (fragment obtenu par digestion de produit de PCR). Ce fragment a été cloné comme précédemment. Environ 200 clones recombinants ont été criblés et quatre d'entre eux ont donné un signal positif. Les quatres clones ont un profil identique après digestion par l'enzyme de restriction HindIII. L'un d'entre eux, 557MACc, a été séquencé et la comparaison de séquence a démontré qu'il s'agissait de la fin du gène de l'ADN polymérase précédemment identifiée.

Supposant que les fragments de gènes obtenus appartenaient à la même ADN polymérase, des oligonucléotides ont été utilisés afin d'amplifier la zone manquante. Ce fragment de PCR a ensuite été purifié sur gel comme décrit dans Matériel et Méthodes, et

10

25

30

35

utilisé comme sonde marquée radioactivement pour repérer sur la membrane le fragment manquant. Après deux heures de révélation un fragment HindIII-HindIII a été révélé, de 2 kb environ. Cloné comme précédemment, 600 colonies ont alors été criblées, donnant quatre clones positifs. Les quatre clones avaient le même profil et l'un d'entre eux, nommé 557MACb a été séquencé et les comparaisons de séquences ont démontré qu'il s'agit de la partie intermédiaire de l'ADN polymérase et ce fragment, délimité par deux sites HindIII, s'insère parfaitement entre 557MACa et 557MACc. L'ensemble de ces trois clones donne la séquence complète de l'ADN polymérase de T. fumicolans.

15 2) <u>Position phylogénétique de Thermococcus</u> <u>fumicolans</u>

Thermococcus fumicolans est une nouvelle espèce de Thermococcales décrite par Godfroy et al (8).

3) <u>Séquences nucléotidiques et polypeptidiques</u> <u>de l'ADN polymérase de Thermococcus fumicolans</u>.

a) <u>Séquences nucléotidiques</u>

Les trois fragments délimités par des sites HindIII ont été assemblés (figures 2 et 3). Ils forment à eux trois un fragment de 5039 paires de bases. Le premier fragment, issu du clone 557MACa, contient le codon de départ ATG en position 457 pb. La phase ouverte de lecture est alors ininterrompue sur 4572 paires de bases jusqu'à rencontrer un codon STOP sur le fragment issu du clone 557MACc en position 5028 pb, six paires de bases avant le dernier site HindIII. Par alignement, avec les autres gènes d'ADN polymérases disponibles en banques (Pfu, Tli, GB-D, KOD, ..), avec la méthode CLUSTAL V, complétée par un alignement manuel final nécessaire pour restituer les sites d'autoépissage des intéines, deux séquences d'insertions ont été mises en évidence.

- La première est insérée à la paire de base n° 1675 et se termine à 2754, étant ainsi répartie entre le fragment issu du clone 557MACa et celui du clone 557MACb.

- La deuxième est insérée à la base n° 3157 et se termine à 4323. Elle est, de même, répartie entre le clone 557MACb et 557MACc.

Ces deux séquences d'insertions forment, avec le reste de la séquence codant pour l'ADN polymérase, un seul cadre de lecture.

10

15

5

b) <u>Séquences polypeptidiques</u>.

La section codante du gène de l'ADN polymérase est donc constituée de trois parties disjointes. La première partie du gène, portée par 557MACa, comporte la zone codant pour l'exonucléase 3'-5', où après traduction, on reconnait le motif FDIET. La deuxième partie, portée par 557MACb et la troisième partie portée par 557MACc comprennent les sites conservés SLYPSI, et YG.DTD.

20

25

Les deux séquences d'insertion sont situées sur des zones conservées de l'ADN polymérase, la première au site DFR/SLYPSII comme I-KOD-1 de Pyrococcus sp. KOD1 et la deuxième au site D/TDG comme I-Tli-1 de T. litoralis. Ces deux protéines sont libérées par autoépissage protéique. Elles comportent les sites de type LAGLIDADG répétés deux fois à 100 paires de bases de distance environ. Les alignements avec les autres intéines déposées dans les banques de séquences permettent de les assimiler à des endonucléases de restriction de type archaebactérien, endonucléases qui coupent l'ADN à l'endroit précis où leur gène s'insère.

30

c) <u>Comparaison avec les autres séquences d'ADN polymérases</u>.

35

L'alignement des différentes séquences polypeptidiques des ADN polymérases de Thermococcales disponibles en banque, *P. abyssi* strain GE5, *Pyrococcus*

10

15

20

25

sp. GE23, Pyrococcus sp. KOD1, Pyrococcus sp. GB-D, P. furiosus, Pyrococcus sp 9°N, T. litoralis avec la séquence de T. fumicolans (sans intéines), réalisé avec le programme CLUSTAL utilisant la matrice PAM250, donne les niveaux de similarité entre ces diverses polymérases figurant au tableau 1 ci-dessous.

Tableau 1

Espèce	1	2	3	4	5	6	7	8
1 - T. fumicolans	XXX	81,7	89,3	77,6	77,3	80,0	79,3	90,6
2 - <i>P. sp.</i> GB-D		xxx	81,3	85,1	76,9	89,0	88,1	82,6
3 - <i>P. sp.</i> KOD1			XXX	78,8	77,5	80,7	79,9	90,3
4 - P. furiosus				XXX	73,9	83,3	82,5	79,6
5 - T. litoralis					xxx	75,9	75,0	76,5
6 - <i>P. sp.</i> GE23						xxx	98,7	80,9
7 - P. abyssi							xxx	80,2
8 - <i>P. sp.</i> 9°N								xxx

Le niveau de similarité le plus proche est celui observé avec Pyrococcus sp. 9°N (90,6%), ce qui indique clairement que l'ADN polymérase de T. fumicolans est originale au niveau de sa séquence et constitue de ce fait une nouvelle ADN polymérase.

d) Comparaison des intéines avec les autres intéines disponibles dans les banques.

Les séquences disponibles en banque ont été alignées selon les mêmes méthodes que précédemment. Les comparaisons de l'ensemble des intéines démontrent que celles-ci sont réparties en trois groupes correspondant aux sites d'insertion des motifs A (R/SLYPSI), B (KILAN/S) et C (D/TDG). L'analyse des niveaux de similarité et la recherche de relations phylogénétiques n'ont de sens que pour des intéines appartenant à la même classe, c'est à dire s'insérant dans un motif donné. Les niveaux de similarités pour I-Tfu-1 (classe A) et I-Tfu-2 (classe C) avec leurs intéines homologues déjà décrites sont donnés respectivement aux tableaux 2 et 3 cidessous.

30 Tableau 2

		1	2	3
1	I-Tfu-1	xxx	41,4	75.3
2	I-Mja-1		xxx	51,7
3	I-KOD-1			xxx

Tableau 3

		1	2
1	I-Tfu-1	xxx	62,2
2	I-I-Tfli-2		xxx

I-Tfu-1 et I-Tfu-2 semblent représenter deux nouveaux "allèles" des "homing" endonucléases archaebactériennes des classes A et C.

I-Tfu-1 est le troisième allèle connu d'intéine s'insérant au site A des ADN polymérase d'Archaea, tandis que I-Tfu-2 est le second de sa classe.

10

15

25

30

5

5) <u>Expression, caractérisation et activité de l'ADN polymérase de T. fumicolans</u>.

a) Clonage et expression.

dis
tot
fum
Nde
20 col
ont

Un insert de 4595 pb obtenu par PCR longue-distance avec les amorces TfuDir et TfuRev et couvrant la totalité du gène de l'ADN polymérase de Thermococcus fumicolans, avec les deux intéines, a été cloné aux sites NdeI et BamHI d'un vecteur pour transformer la souche E. coli Novablue. Des mini-préparations d'ADN plasmidique ont été réalisées sur une dizaine de clones transformants et ont toutes donné un signal positif à l'hybridation. Deux clones ont été retenus sur la base de leur profil après une digestion par NdeI et SalI ou par HindIII. Ces deux plasmides ont ensuite été transformés dans la souche E. coli BL21(DE3)pLysS.

Des essais d'expression ont été réalisés en culture de 5 ml afin de déterminer les conditions optimales de culture et d'induction. Tout d'abord les essais de cultures ont été réalisés à 37°C, où l'on observe une lyse cellulaire trop importante, puis à 30°C où la culture ne lyse pratiquement pas. La culture est

10

15

20

25

réalisée en milieu 2xYT, où le rendement de production est meilleur et la lyse réduite, supplémenté avec de l'ampicilline $(100\mu g/ml)$ et du chloramphenicol $(15\mu g/ml)$. L'expression est alors induite en phase exponentielle de croissance (D0600nm = 0,6 à 0,7) avec une concentration en IPTG de 1mM, concentration qui s'est avérée optimale. Des échantillons sont prélevés avant induction puis 2 heures, 4 heures et 6 heures après induction, ainsi qu'après une nuit. Des prélèvemments sont aussi réalisés sur les cultures non induites après 6, 8, 12 et 24 heures de culture.

Les échantillons sont alors traités comme indiqué au chapitre Matériel et Methodes, afin de tester le niveau d'activité de l'ADN polymérase recombinante par incorporation de thymidine tritiée ou de ³²P dCTP. Cette première technique, qui permet une approche qualitative, nous donne deux types de comportement. Un des clones est non inductible et la meilleure activité est obtenue après une nuit de culture (clone rTful-1). Un second clone est inductible et présente une activité maximale après quatre heures d'induction, activité qui diminue par la suite (clone rTful00-2). Deux autres clones, aussi testés sont faiblement inductibles et expriment très peu l'ADN polymérase.

Les clones rTful-1 et rTful00-2 sont ensuite testés en erlenmeyer de 50 ml dans les conditions décrites précédemment. Seul le clone inductible rTful00-2 a une expression constante en volume de 50 ml. La suite des travaux a donc été réalisée sur ce clone.

30

35

b) Fermentation et extraction des cellules.

La culture du clone Tfu100-2 à été réalisée dans un fermenteur de 16 litres, dans le milieu 2xYT supplémenté en ampicilline et chloramphénicol. La préculture, de 750ml a été réalisée la veille et arrêtée en phase exponentielle (DO 600nm= 0,7-0,8) et laissée à 4°C pour la nuit. Le fermenteur a été préparé et mis en

10

15

20

25

30

température à 30°C avec le milieu de culture. La préculture a été remise à 30°C une heure avant son transfert dans le fermenteur. Le volume final de culture est de 15 litres. Les conditions sont les suivantes: température = 30°C ; agitation = 300 rpm. L'induction avec 1 mM d'IPTG a été réalisée à DO 600 = 0,58. Le pH de la culture a été régulé à 7 pendant la d'acidification puis laissé libre lors de la phase alcaline. Les bactéries ont été prélevées après quatre heures d'induction, alors que le pH était de 8,3. La culture a ensuite été centrifugée puis les cellules ont été divisées en trois lots. L'un d'eux, 20 g de pâte, a été repris dans 80 ml de tampon de lyse traitement ultérieur indiqué au chapitre Matériel et méthodes.

c) <u>Purification de l'ADN polymérase de T.</u> <u>fumicolans</u>.

La purification a été effectuée comme indiqué précédemment (Matériel et Méthodes). Pour la colonne Héparine -Sépharose, un gradient de 3 à 50% de tampon B, correspondant aux volume 365 ml à 1363 ml, permet de récupérer 73 fractions de 6 ml. Le pic d'activité de la polymérase est obtenu pour une valeur de gradient de 0,5 M environ, et correspond aux fractions 55/56 (dosées à 10 et 12 unités respectivement) comme indiqué à la figure 7. Ces fractions, incubées à 37°C pendant la nuit en présence d'ADN de pBR322, dégradent l'ADN et présentent en conséquence des traces de nucléase de l'hôte, non visibles sur gel. Leur élimination, ou tout au moins une réduction substancielle de leur concentration a été réalisée par un passage sur colonne d'affinité (Bleue Hitrap).

Les fractions 54 à 60, regroupées et dialysées, 35 sont chargées à raison de 0,25 ml/mm. L'élution permet de récupérer 65 fractions de 5 ml avec des pics d'activité pour les fractions 36 à 56. Le dosage de l'activité fait apparaître une concentration de 3 à 5 unités pour les fractions 36 à 40. Ces fractions, mises en présence d'ADN à 37°C, préssentent une faible activité nucléasique.

5

10

15

20

25

30

35

Néanmoins, l'activité sur le plasmide pBR322 à 37°C toute la nuit montre une nette amélioration de la pureté de l'enzyme. Une deuxième colonne Bleue HiTrap a été réutilisée en prenant les fractions 36 à 44 et dialysées comme précédemment. 25ml sur les 30ml de fraction ont été injectés sur la colonne avec un débit de 0,25ml/min (5 ml étant gardés pour essayer une MonoQ). Après cette deuxième colonne Bleue HiTrap, l'activité sur le plasmide pBR322 fermé et incubé toute la nuit avec des fractions de la colonne, est nulle. L'incubation d'une heure à 72°C de fractions avec l'ADN de Lambda digéré par HindIII montre une très nette dégradation, mettant en évidence l'activité exonucléase 3'-5' associée à notre ADN polymérase. Le pic d'activité se situe entre les fractions 27 et 32. L'ADN polymérase plus pure est donc sortie plus tôt sur le gradient de NaCl. Sur les fractions les plus actives, un comptage a été réalisé donnant une activité supérieure à 5U/µl pour fractions 29, 30 et 31. La figure 4 montre le résultat sur gel SDS-PAGE. Suite à ces trois colonnes, la pureté de la polymérase est nettement améliorée. Néanmoins, il reste des traces d'ADN de *E.coli* fixé à la polymérase et mises en évidence par PCR. Deux colonnes supplémentaires vont donc être mis en oeuvre. 30ml de fractions actives obtenues précédemment sont chargées sur une colonne de phosphocellulose (celle-ci devrait fixer différemment l'ADN et la polymérase). L'activité de la polymérase est repérée par son activité exonucléasique 3'-5' elevée à 72°C sur l'ADN de Lambda digéré par HindIII. L'activité la plus forte se situe entre les fractions 40 et 49 avec un pic net en 46 et 47. Sur ces fractions 40 à 49 l'ADN de pBR322 est intact après une nuit à 37°C. La figure 5 nous montre les résultats sur gel avec des activités

mesurées de 6U/ μ l pour la fraction 46, 4,5U/ μ l pour la 47 et 3U/ μ l pour la 48. Néanmoins il reste encore des traces d'ADN de *E. coli*.

Ayant déjà mis en évidence que cette polymérase ne se fixe pas sur une MonoQ ou une ressource Q et ce quel que soit le pH utilisé, nous avons essayé de la récupérer en exclusion en espérant une fixation de l'ADN contaminant par la colonne.

5

10

15

20

25

30

Tout d'abord un essai a été réalisé en sortie de la deuxième Bleue HiTrap avec 5ml dialysés Les résultats ont été décevants, les fractions d'exclusion étant peu actives en incorporation.

Une deuxième tentative a été réalisée après la phosphocellulose et après deux dialyses des fractions les plus actives 45, 46 et 49. Les fractions sont tout d'abord chauffées 40 min à 85°C en raison d'une détection de contaminant dégradant le pBR322 à 72°C en une nuit. Aucune floculation n'est alors visible et l'extrait est mis sur glace. Un nouveau test démontre que la contamination semble réduite. Après les dialyses et le passage sur colonne, l'activité exonucléasique est mise en évidence sur les fractions d'exclusion 3 à 7. L'activité est dosée à 2U/µl et l'enzyme est visualisée sur la figure 10. Suite a cette dernière étape de purification, nous avons obtenu des résultats positifs en PCR et comparables à ceux obtenus pour la Vent.

d) <u>Caractérisation des activité des fractions</u> <u>purifiées</u>.

L'activité de l'ADN polymérase des différentes fractions a été dosée par incorporation au ³²P dATP selon le protocole décrit en Matériel et Méthodes.

- Amplification de gènes in vitro.

Un fragment de 459 pb a été amplifié à partir d'un ADN génomique d'Archaebactérie (Thermococcus sp. GE

- 8) avec des amorces spécifiques. Différents tampons ont été utilisés:
- tampon 10x R: Tris HCl pH 8,8: 300mM; KCl: 500mM; MgCl2: 30mM; Tween 20: 0,1%
- 5 tampon 10x H: Tris HCl: pH 8,8: 300 mM; KCl: 500mM; MgCl2: 15mM; Tween 20: 0,1%
 - tampon 10x T: Tris HCl pH 8,8: 600mM; KCl: 500mM; MgCl2: 15mM; Tween 20: 0,1%
- tampon 10x S: Tris Hcl pH 8,8: 200mM; KCl: 250mM; MgCl2: 20mM; Tween 20: 0,1%

Trente cycles ont été réalisés, chacun comprenant une étape de dénaturation à 94°C pendant 30 sec., une étape d'hybridation des amorces à 51°C pendant 1 min. puis une étape d'élongation à 72°C pendant 2 min. La figure 8 présente les résultats obtenus avec un volume réactionnel de 50 µl pour des quantités d'ADN polymérase de Thermococcus fumicolans de 2,7 unités. En l'état actuel, les meilleurs résultats avec la Tfu sont obtenus avec le tampon R.

La figure 9 représente les résultats de l'amplification d'un fragment de 1,6 kb avec la Tfu purifiée sur colonnes d'héparine puis de séphacryl-bleue, et un tampon réactionnel 10x ayant la composition suivante: Tris HCl pH 8,8: 200mM; KCl: 100mM; (NH4)2SO4: 100mM; MgSO4: 20mM; Triton X-100: 1%.

- Activité exonucléasique.

Les tests d'activité, selon le protocole détaillé en Matériels et Méthodes, ne révèlent pas d'activité exonucléasique 5'-3' chez la Tfu. Ceci est en conformité avec la structure de l'enzyme déduite de l'analyse de la séquence polypeptidique qui ne fait pas apparaître de domaine fonctionnel exonucléase 5'-3', contrairement à ce qui est observé pour DNA polI de E. coli et la Taq.

Les tests d'activité, selon le protocole détaillé au chapitre Matériels et Méthodes, font apparaître une activité exonucléasique 3'-5' (activité proof-reading ou de correction d'erreurs) chez la Tfu, à un niveau sensiblement égal à celui de la Vent comme montré dans le tableau 4 ci-dessous. Le tableau 4 rapporte la mesure de l'actvité exonucléasique 3'-5' de la Tfu en fonction de la concentration en dNTP, et en comparaison avec la Vent.

Tableau 4

Conc. dNTP (mM)	Tfu	Témoin + (Vent)	Témoin - (Pab exo-)
0 0,1 0,2 0,3 0,4 0,5 0,75	30 000 40 000 40 000 40 000 40 000 - 40 000 90 000	25 000 - 56 000 58 000 70 000 - 84 000 106 000	100 000

10

5

Ces résultats sont en conformité avec la structure de l'enzyme déduite de l'analyse de la séquence polypeptidique qui révèle la présence d'un domaine exonucléasique 3'-5' en position N-terminale, ainsi que la présence des motifs catalytiques caractéristiques de ce domaine. La Tfu est sensible à une concentration de l'ordre de 0,8 mM de dNTP, tandis que la Vent manifeste une sensibilité dès 0,5 mM. Cette activité est connue pour améliorer in vitro la fidélité des polymérases utilisées en PCR.

20

25

15

En outre, cette activité exonucléasique est confirmée par un test plus simple. Les fractions purifiées, dépourvues d'activité nucléasique à 37°C, mises en présence d'ADN de digéré par HindIII puis exposé à 72°C pendant la nuit, dégradent complètement cet ADN, mettant ainsi en évidence la présence de l'activité 3'-5' exonucléase de la Tfu ainsi que sa thermostabilité.

- Thermostabilité.

10

15

La thermostabilité mesurée selon le protocole décrit précédemment (Matériel et Méthodes), ou mieux, l'activité résiduelle en incorporation à 72°C après exposition de l'enzyme à des températures élevées pendant des temps variables, est donnée dans le tableau 5 cidessous.

<u>Tableau 5</u>

Température (°C)	Demi-vie polymérase	Activité exo après 3h
92	_	100%
95	4 h	200
100	2 h	

Cette thermostabilité, inférieure à celle des polymérases issues d'organismes plus hyperthermophiles tels que les *Pyrococcus*, n'en demeure pas moins très largement supérieure à celles des polymérases issues des *Thermus* et en particulier toutes les Taq. La thermostabilité de l'enzyme recombinante purifiée, tant pour le domaine polymérase que pour l'exonucléase, est de toute manière très largement supérieure à tous les besoins connus en PCR.

20

REFERENCES BIBLIOGRAPHIQUES.

- 1. Birnboim, H. C., and J. Doly. 1979. A rapid extraction procedure for screening recombinant plasmid DNA. Nucleic Acids Research. 7:1503.
- 2. Braithwaite, D. K., and J. Ito. 1993. Compilation, alignment, and phylogenetic relationships of DNA polymerases. Nucleic Acids Research. 21(4):787-802.
 - 3. Charbonnier, F. 1993. Paris Sud.
- 4. Chong, S. R., Y. Shao, H. Paulus, J. Benner, F. B. Perler, and M. Q. Xu. 1996. Protein splicing involving the Saccharomyces cerevisiae VMA intein The steps in the splicing pathway, side reactions leading to protein cleavage, and establishment of an in vitro splicing system. Journal of Biological Chemistry. 271(36):22159-22168.
 - 5. Davis, E. O., S. G. Sedgwick, and J. Colston. 1991. Novel structure of *Mycobacterium tuberculosis* implies processing of the gene product. Journal of Bacteriology. 173(18):5653-5662.
 - 6. Davis, E. O., S. G. Sedgwick, and M. J. Colston. 1991. Novel structure of the recA locus of Mycobacterium tuberculosis implies processing of the gene product. Journal of Bacteriology. 173(18):5653-5662.
- 7. Fsihi, H., V. Vincent, and S. T. Cole. 1996. Homing events in the gyrA gene of some mycobacteria. Proceedings of the National Academy of Sciences of the United States of America. 93(8):3410-3415.
- 8. Godfroy, A., J. R. Meunier, J. Guézennec, F.
 Lesongeur, G. Raguénès, A. Rimbault, and G. Barbier.
 1996. Thermococcus fumicolans sp. nov., a new
 hyperthermophilic archaeon isolated from a deep-sea
 hydrothermal vent in the North Fiji Basin. International
 Journal of Systematic Bacteriology. 46(4):1113-1119.
- 9. Hodges, R. A., F. B. Perler, C. J. Noren, and W. E. Jack. 1992. Protein Splicing Removes

10

15

20

25

Intervening Sequences in an Archaea DNA Polymerase. Nucleic Acids Res. 20(23):6153-6157.

- 10. Kong, H. M., R. B: Kucera, and W. E. Jack. 1993. Characterization of a DNA Polymerase from the Hyperthermophile Archaea *Thermococcus litoralis* Vent DNA Polymerase, Steady State Kinetics, Thermal Stability, Processivity, Strand Displacement, and Exonuclease Activities. J Biol Chem. 268(3):1965-1975.
- 11. Saitou, N., and M. Nei. 1987. The neighbor-joining method: a new method for reconstructing phylogenetic trees. Mol. Biol. Evol. 4(4):406-425.
 - 12. Sambrook, J., E. F. Fritsch, and T. Maniatis. 1989. Molecular Cloning. A Laboratory Manual, 2nd ed. Cold Spring Harbor Laboratory Press, Cold Spring Harbor.
 - 13. Sanger, F., S. Nicklen, and A. R. Coulson. 1977. DNA sequencing with chain terminating inhibitors. Proc. Natl. Acad. Sci. USA. 74:5467-5473.
 - 14. Southern, E. M. 1975. Detection of specific sequences among DNA fragments separated by gel electrophoresis. Journal of molecular biology. 98:503.
 - 15. Southworth, M. W., H. Kong, R. B. Kucera, J. Ware, H. W. Jannasch, and F. B. Perler. 1996. Cloning of thermostable DNA polymerases from hyperthermophilic marine Archaea with emphasis on Thermococcus sp. 9°N-7 and mutations affecting 3'-5' exonuclease activity. Proc. Ntl. Acad. Sci. USA. 93:5281-5285.
- 16. Studier, F. W., A. H. Rosenberg, F. J.
 30 Dunn, and J. W. Dubendorff. 1990. Use of T7 RNA polymerase to direct expression of cloned genes. Methods Enzymol. 185:60-89.
- 17. Sutherland, K. J., C. M. Henneke, P. Towner, and D. W. Hough. 1990. Citrate synthase from the thermophilic archaebacterium *Thermoplasma acidophilum*. Cloning and sequencing of the gene. European Journal of Biochemistry. 194:839-844.

18. Uemori, T., Y. Ishino, H. Toh, K. Asada, and I. Kato. 1993. Organization and nucleotide sequence of the DNA polymerase gene from the archaeon *Pyrococcus furiosus*. Nucleic Acids Research. 21(2):259-265.

LISTE DE SÉQUENCES

(1)	INFORM	MATION GÉNÉRALES :	
	(i)	DEPOSANT : APPLIGENE - ONCOR	
	(T T)	TITRE DE L'INVENTION: ADN POLYMERAS	ΞE
		THERMOSTABLE D'ARCHAEBACTÉRIES DE L'ESPEC THERMOCOCCUS fumicolans	CE
	(iii)	NOMBRE DE SEQUENCES: 4	
(2)	TNFORM	MATION POUR LA SEQ ID NO:1 :	
(2)	(i)	CARACTRERISTIQUES DE LA SEQUENCE:	
		(A) LONGUEUR: 5039 paires de bases	
		(B) TYPE: nucléotide	
		(C) NOMBRE DE BRIN: double	
	/ i i \	(D) CONFIGURATION: linéaire	
	(ii) (ix)	TYPE DE MOLECULE: ADN CARACTERISTIQUES	
	(111)	(A) NOM/CLE: séquence codante de l'ADN	
		polymérase de THERMOCOCCUS fumicolans Tfu	
		(B) EMPLACEMENT: de 457 à 5028	
	(ix)		
		(A) NOM/CLE: séquence codante de l'intéine	
		I-Tru-I	
	(ix)	(B) EMPLACEMENT: de 1675 à 2754 CARACTERISTIQUES	
	(=== /	(A) NOM/CLE: séquence codante de l'intéine	
		I-Tfu-2	
		(B) EMPLACEMENT: de 3157 à 4323	
	(ix)		
		(A) NOM/CLE: codon stop	
	(xi)	(B) EMPLACEMENT: de 5026 à 5028	
		DESCRIPTION DE LA SEQUENCES: SEQ ID NO:1 :	
		CCGCCACT ACTTCCTGAA AGCTCACGCG GTAAAACAGC TCCATGCTCG	60
GCTCTTC	GAT GGO	SAGGTTTA AAAAGGTGGT GGTGAGGTTT ATTAGGAAGA AGGCTCAACT	120
		AGTATGGA AGAGGTCGAC AGGCTCGTGT TCAACTTTCC CCTCTTCAAA	180
		AAGGAGCG GTTCCTCAAG GTCGTTGGGC TTCTGGTGAG CCACCAGATA	240
		GCTGCCGA GCTTCTGGAC ATGAGGCTCG AAGAGCTGGC GTTCCTCCTT	300
GACAAGO	CTCG GCC	STTGAGTA CTCGCTTCTT GATGATGAAG AGGCCAGACT TGAGAGAGAA	360
GAGGCCA	ATA AGO	CTCATGGG GGAAATGAAG GGTGGAGCGT TTGTCTGATT CTTCTGAGCT	420
GTTATTO	GTG TT1	TCACAGGC TGGGAGGTGG TGGATT ATG ATC CTC GAT ACA GAC Met Ile Leu Asp Thr Asp 1	474
TAC ATO	C ACC GA Thr Gl	AA GAC GGA AGG CCC GTC ATC AGG GTG TTC AAG AAG GAG Lu Asp Gly Arg Pro Val Ile Arg Val Phe Lys Lys Glu	522

AAC Asn	GGC Gly	GAG Glu 25	TTC Phe	AAA Lys	ATC Ile	GAG Glu	TAC Tyr 30	GAC Asp	AGG Arg	GAC Asp	TTC Phe	GAG Glu 35	CCT Pro	TAC Tyr	ATC Ile	570
TAC Tyr	GCT Ala 40	CTC Leu	CTG Leu	AAG Lys	GAC Asp	GAT Asp 45	TCC Ser	GCG Ala	ATC Ile	GAG Glu	GAC Asp 50	GTC Val	AAG Lys	AAG Lys	ATA Ile	618
ACT Thr 55	GCA Ala	AGC Ser	CGG Arg	CAC His	GGT Gly 60	ACC Thr	ACC Thr	GTC Val	AGG Arg	GTC Val 65	GTC Val	AGG Arg	GCC Ala	GGG Gly	AAG Lys 70	666
GTG Val	AAG Lys	AAG Lys	AAG Lys	TTC Phe 75	CTC Leu	GGC Gly	AGG Arg	CCG Pro	ATA Ile 80	GAG Glu	GTC Val	TGG Trp	AAG Lys	CTC Leu 85	TAC Tyr	714
Pne	inr	CAT His	90	GIn	Asp	Val	Pro	Ala 95	Ile	Arg	Asp	Lys	Ile 100	Arg	Glu	762
nis	Pro	GCC Ala 105	val	Val	Asp	Ile	Tyr 110	Glu	Tyr	Asp	Ile	Pro 115	Phe	Ala	Lys	810
CGC Arg	TAC Tyr 120	CTC Leu	ATC Ile	GAT Asp	AAG Lys	GGC Gly 125	CTC Leu	ATC Ile	CCG Pro	ATG Met	GAG Glu 130	GGC Gly	GAC Asp	GAG Glu	GAG Glu	858
CTC Leu 135	AAG Lys	ATG Met	CTC Leu	GCC Ala	TTC Phe 140	GAC Asp	ATC Ile	GAG Glu	ACG Thr	CTC Leu 145	TAC Tyr	CAC His	GAG Glu	GGC Gly	GAG Glu 150	906
GAG Glu	TTC Phe	GCC Ala	GAG Glu	GGG Gly 155	CCT Pro	ATT Ile	CTT Leu	ATG Met	ATA Ile 160	AGC Ser	TAT Tyr	GCC Ala	GAC Asp	GAG Glu 165	GAA Glu	954
GGG Gly	GCG Ala	AGG Arg	GTA Val 170	ATA Ile	ACC Thr	TGG Trp	AAG Lys	AAG Lys 175	ATC Ile	GAC Asp	CTT Leu	CCC Pro	TAC Tyr 180	GTT Val	GAC Asp	1002
GTC Val	GTT Val	TCA Ser 185	ACG Thr	GAG Glu	AAG Lys	GAG Glu	ATG Met 190	ATA Ile	AAG Lys	CGC Arg	TTC Phe	CTG Leu 195	AAG Lys	GTT Val	GTC Val	1050
AAG Lys	GAG Glu 200	AAG Lys	GAC Asp	CCC Pro	GAT Asp	GTC Val 205	CTC Leu	ATA Ile	ACC Thr	TAC Tyr	AAC Asn 210	GGC Gly	GAC Asp	AAC Asn	TTC Phe	1098
GAC Asp 215	TTC Phe	GCT Ala	TAC Tyr	CTC Leu	AAG Lys 220	AAG Lys	CGC Arg	TCC Ser	GAG Glu	AAG Lys 225	CTC Leu	GGC Gly	GTT Val	AAG Lys	TTC Phe 230	1146
ATC Ile	CTC Leu	GGA Gly	AGG Arg	GAC Asp 235	GGC Gly	AGC Ser	GAG Glu	CCG Pro	AAG Lys 240	ATA Ile	CAG Gln	AGG Arg	ATG Met	GGC Gly 245	GAC Asp	1194
CGC Arg	TTC Phe	GCC Ala	GTC Val 250	GAG Glu	GTG Val	AAG Lys	GGA Gly	AGA Arg 255	ATA Ile	CAC His	TTC Phe	GAC Asp	CTC Leu 260	TAC Tyr	CCC Pro	1242

GTC Val	ATA Ile	AGA Arg 265	CAC His	ACC Thr	ATC Ile	AAC Asn	CTG Leu 270	CCC Pro	ACC Thr	TAC Tyr	ACG Thr	CTG Leu 275	GAG Glu	GCC Ala	GTC Val	1290
TAC Tyr	GAG Glu 280	GCG Ala	ATT Ile	TTT Phe	GGG Gly	CAG Gln 285	CCA Pro	AAG Lys	GAG Glu	AAG Lys	GTC Val 290	TAC Tyr	GCT Ala	GAG Glu	GAG Glu	1338
ATA Ile 295	GCG Ala	CAG Gln	GCC Ala	TGG Trp	GAA Glu 300	ACG Thr	GGC Gly	GAG Glu	GGG Gly	CTT Leu 305	GAG Glu	CGC Arg	GTC Val	GCG Ala	CGC Arg 310	1386
TAC Tyr	TCG Ser	ATG Met	GAG Glu	GAC Asp 315	GCC Ala	AAG Lys	GTA Val	ACC Thr	TAC Tyr 320	GAG Glu	CTG Leu	GGA Gly	AGG Arg	GAG Glu 325	TTC Phe	1434
Pne	CCG Pro	Met	330	Ala	GIn	Leu	Ser	Arg 335	Leu	Val	Gly	Gln	Ser 340	Phe	Trp	1482
ASD	GTC Val	345	Arg	Ser	Ser	Thr	Gly 350	Asn	Leu	Val	Glu	Trp 355	Tyr	Leu	Leu	1530
Arg	AAG Lys 360	Ата	ıyr	Giu	Arg	Asn 365	Glu	Leu	Ala	Pro	Asn 370	Lys	Pro	Ser	Gly	1578
AGA Arg 375	GAA Glu	CTT Leu	GAG Glu	AGG Arg	CGC Arg 400	CGC Arg	GGG Gly	GGC Gly	TAC Tyr	GCC Ala 405	GGC Gly	GGC Gly	TAC Tyr	GTC Val	AAG Lys 410	1626
GAG Glu	CCG Pro	GAG Glu	AGG Arg	GGA Gly 415	CTT Leu	TGG Trp	GAG Glu	AAC Asn	ATA Ile 420	GCT Ala	TAT Tyr	TTA Leu	GAT Asp	TTT Phe 425	AGG Arg	1674
cys	CAT His	Pro	Ala 430	Asp	Thr	Lys	Val	Ile 435	Val	Lys	Gly	Lys	Gly 440	Val	Val	1722
ASII	ATC Ile	445	GIU	val	Arg	GIu	Gly 450	Asp	Tyr	Val	Leu	Gly 455	Ile	Asp	Gly	1770
тър	CAG Gln 460	пуѕ	Val	GIN	Arg	va1 465	Trp	Glu	Tyr	Asp	Tyr 470	Glu	Gly	Glu	Leu	1818
GTA Val 475	AAT Asn	ATA Ile	AAC Asn	GGC Gly	CTT Leu 480	AAG Lys	TGC Cys	ACA Thr	CCG Pro	AAC Asn 485	CAT His	AAG Lys	CTT Leu	CCG Pro	GTC Val 490	1866
vai	AGG Arg	Arg	rnr	495	Arg	Gin	Thr	Ala	Ile 500	Arg	Asp	Ser	Leu	Ala 505	Lys	1914
TCT Ser	TTT Phe	CTC Leu	ACG Thr 510	AAA Lys	AAA Lys	GTT Val	AAA Lys	GGT Gly 515	AAG Lys	CTG Leu	ATA Ile	ACC Thr	ACG Thr 520	CCT Pro	CTC Leu	1962

TTT Phe	GAA Glu	AAA Lys 525	ATC Ile	GGG Gly	AAG Lys	ATC Ile	GAG Glu 530	CGA Arg	GAG Glu	GAC Asp	GTG Val	CCA Pro 535	GAA Glu	GAG Glu	GAG Glu	2010
ATA Ile	CTC Leu 540	AAA Lys	GGA Gly	GAA Glu	CTC Leu	GCC Ala 545	GGA Gly	ATA Ile	ATC Ile	CTG Leu	GCT Ala 550	GAG Glu	GGC Gly	ACA Thr	CTC Leu	2058
CTG Leu 555	AGA Arg	AAG Lys	GAT Asp	GTC Val	GAG Glu 560	TAC Tyr	TTT Phe	GAC Asp	TCT Ser	TCC Ser 565	AGA Arg	GGG Gly	AAG Lys	AAG Lys	AGA Arg 570	2106
GTA Val	TCA Ser	CAC His	CAG Gln	TAC Tyr 575	AGG Arg	GTT Val	GAA Glu	ATA Ile	ACC Thr 580	GTT Val	GGG Gly	GCG Ala	CAG Gln	GAG Glu 585	GAG Glu	2154
GAC Asp	TTC Phe	CAG X	AGG Arg 590	AGG Arg	ATC Ile	GTT Val	TAC Tyr	ATT Ile 595	TTC Phe	GAA Glu	CGC Arg	CTC Leu	TTT Phe 600	GGG Gly	GTA Val	2202
ACT Thr	CCC Pro	AGT Ser 605	GTT Val	TAC Tyr	CGG Arg	AAA Lys	AAG Lys 610	AAC Asn	ACA Thr	AAC Asn	GCA Ala	ATA Ile 615	ACG Thr	TTC Phe	AAA Lys	2250
GTT Val	GCC Ala 620	AAA Lys	AAA Lys	GAG Glu	GTT Val	TAT Tyr 625	CTT Leu	AGG Arg	GTT Val	AGG Arg	GAA Glu 630	ATT Ile	ATG Met	GAT Asp	GGC Gly	2298
ATT Ile 635	GAG Glu	AAC Asn	CTC Leu	CAC His	GCT Ala 640	CCT Pro	TCT Ser	GTG Val	TTA Leu	AGG Arg 645	GGC Gly	TTT Phe	TTT Phe	GAA Glu	GGA Gly 650	2346
GAC Asp	GGA Gly	AGC Ser	GTC Val	AAC Asn 655	AAG Lys	GTC Val	CGG Arg	AAG Lys	ACA Thr 660	GTG Val	GTA Val	GTG Val	AAT Asn	CAG Gln 665	GGC Gly	2394
ACC Thr	AAT Asn	AAT Asn	GAA Glu 670	TGG Trp	AAA Lys	ATT Ile	GAA Glu	GTG Val 675	GTG Val	TCA Ser	AAA Lys	CTC Leu	CTC Leu 680	AAC Asn	AAG Lys	2442
TTG Leu	GGG Gly	ATT Ile 685	CCG Pro	CAT His	AGA Arg	AGG Arg	TAC Tyr 690	ACA Thr	TAC Tyr	GAT Asp	TAC Tyr	ACC Thr 695	GAA Glu	AGA Arg	GAA Glu	2490
AAA Lys	ACC Thr 700	ATG Met	ACA Thr	ACG Thr	CAT His	ATA Ile 705	CTT Leu	GAG Glu	ATA Ile	GCC Ala	GGC Gly 710	AGG Arg	GAT Asp	GGG Gly	TTA Leu	2538
ATC Ile 715	CTT Leu	TTC Phe	CAG Gln	ACC Thr	ATT Ile 720	GTG Val	GGA Gly	TTC Phe	ATA Ile	AGC Ser 725	ACT Thr	GAG Glu	AAG Lys	AAC Asn	ATG Met 730	2586
GCG Ala	CTG Leu	GAG Glu	GAG Glu	GCA Ala 735	ATC Ile	AGG Arg	AAC Asn	AGG Arg	GAA Glu 740	GTG Val	AAC Asn	CGC Arg	CTA Leu	GAA Glu 745	AAC Asn	2634
AAT Asn	GCC Ala	TTC Phe	TAT Tyr 750	ACC Thr	CTA Leu	GCC Ala	GAC Asp	TTT Phe 755	ACG Thr	GCG Ala	AAG Lys	ACA Thr	GAG Glu 780	TAC Tyr	TAC Tyr	2682

AAG Lys	GGC Gly	AAA Lys 785	GTT Val	TAC Tyr	GAC Asp	TTA Leu	ACC Thr 790	CTT Leu	GAG Glu	GGA Gly	ACG Thr	CCC Pro 795	TAT Tyr	TAC Tyr	TTC Phe	2730
GCC Ala	AAT Asn 800	GGC Gly	ATA Ile	CTG Leu	ACC Thr	CAC His 805	AAT Asn	<u>TCG</u> Ser	CTA Leu	TAT Tyr	CCT Pro 810	TCG Ser	ATT	ATA Ile	ATT Ile	2778
TCC Ser 815	CAC His	AAC Asn	GTC Val	TCC Ser	CCC Pro 820	GAT Asp	ACG Thr	CTC Leu	AAC Asn	CGC Arg 825	GAG Glu	GGC Gly	TGC Cys	GGG Gly	GAG Glu 830	2826
Tyr	GAC Asp	GIU	Ala	835	GIn	Val	Gly	His	Arg 840	Phe	Cys	Lys	Asp	Phe 845	Pro	2874
GIY	TTC Phe	116	855	Ser	Leu	Leu	Gly	Asp 860	Leu	Leu	Asp	Glu	Arg 865	Gln	Lys	2922
vai	AAG Lys	Lys 870	HIS	Met	Lys	Ala	Thr 875	Val	Asp	Pro	Ile	Glu 880	Lys	Lys	Leu	2970
Leu	GAT Asp 885	туr	Arg	Gin	Arg	Ala 890	Ile	Lys	Ile	Leu	Ala 895	Asn	Ser	Phe	Tyr	3018
900	TAC Tyr	туг	GIĀ	ıyr	905	гуs	Ala	Arg	Trp	Tyr 910	Cys	Lys	Glu	Cys	Ala 915	3066
GIU	AGC Ser	vai	Thr	920	Trp	Gly	Arg	Gln	Tyr 925	Ile	Glu	Thr	Thr	Met 930	Arg	3114
GIU	ATA Ile	GIu	935	Lys	Phe	Gly	Phe	Lys 940	Val	Leu	Tyr	Ala	Asp 945	Ser	Val	3162
ACA Thr	GGG Gly	GAC Asp 950	ACA Thr	GAG Glu	GTA Val	ACC Thr	ATC Ile 955	AGA Arg	AGA Arg	AAC Asn	GGC Gly	AGG Arg 960	ATT Ile	GAG Glu	TTC Phe	3210
GTT Val	CCA Pro 965	ATC Ile	GAG Glu	AAA Lys	CTC Leu	TTT Phe 970	GAG Glu	CGC Arg	GTT Val	GAT Asp	CAC His 975	CGT Arg	GTT Val	GGT Gly	GAG Glu	3258
AAG Lys 980	GAG Glu	TAC Tyr	TGC Cys	GTT Val	CTT Leu 985	GGA Gly	GGG Gly	GTT Val	GAG Glu	GCA Ala 990	CTG Leu	ACA Thr	CTC Leu	GAC Asp	AAC Asn 995	3306
Arg	GGC Gly	Arg	ьеu	100(Trp)	Lys	Lys	Val	Pro 1009	Tyr 5	Val	Met	Arg	His 101	Lys)	3354
ACG Thr	GAC Asp	AAA Lys	AGA Arg 1015	тте	TAT Tyr	AGG Arg	GTA Val	TGG Trp 1020	Phe	ACC Thr	AAC Asn	TCT Ser	TGG Trp 1029	Tyr	CTT Leu	3402

GAC GTG ACG GAG GAT	CAC TCG CTA ATA	GGC TAC CTG AAC	Thr Ser Lys
Asp Val Thr Glu Asp	His Ser Leu Ile	Gly Tyr Leu Asn	
1030	1035	104	
GTC AAA CCC GGA AAG Val Lys Pro Gly Lys 1045	CCC TTG AAA GAG Pro Leu Lys Glu 1050	CGT CTC GTC GAG Arg Leu Val Glu 1055	GTC AAG CCA 3498 Val Lys Pro
GAA GAA TTG GGG GGT	AAG GTC AAG TCT	CTC ATT ACG CCC	AAT CGG CCA 3546
Glu Glu Leu Gly Gly	Lys Val Lys Ser	Leu Ile Thr Pro	Asn Arg Pro
1060	1065	1070	1075
ATT GCC CGT ACC ATC Ile Ala Arg Thr Ile 1080	Lys Ala Asn Pro	ATT GCC GTC AAG Ile Ala Val Lys 1085	CTC TGG GAG 3594 Leu Trp Glu 1090
TTA ATT GGC CTG CTG	GTG GGA GAT GGC	Asn Trp Gly Gly	CAA TCG AAC 3642
Leu Ile Gly Leu Leu	Val Gly Asp Gly		Gln Ser Asn
1095	1100		1105
TGG GCC AAA TAC TAC	GTT GGC CTC TCC	TGT GGG CTG GAT	Lys Ala Glu
Trp Ala Lys Tyr Tyr	Val Gly Leu Ser	Cys Gly Leu Asp	
1110	1115	1120	
ATA GAG AGA AAA GTC Ile Glu Arg Lys Val 1125	CTG AAC CCT TTA Leu Asn Pro Leu 1130	AGA GAG GCA AGC Arg Glu Ala Ser 1135	GTC ATC TCC 3738 Val Ile Ser
AAC TAC TAC GAC AAG	AGC AAG AAG GGC	GAC GTT TCC ATA	CTC TCC AAG 3786
Asn Tyr Tyr Asp Lys	Ser Lys Lys Gly	Asp Val Ser Ile	Leu Ser Lys
1140	1145	1150	1155
TGG CTC GCC GGA TTC	Met Val Lys Tyr	TTC AAA GAT GAA	AAT GGG AAC 3834
Trp Leu Ala Gly Phe		Phe Lys Asp Glu	Asn Gly Asn
1160		1165	1170
AAG GCC ATT CCC AGC Lys Ala Ile Pro Ser 1175	TTC ATG TTC AAC Phe Met Phe Asn 1180	Leu Pro Arg Glu	TAC ATA GAG 3882 Tyr Ile Glu 1185
GCC TTT CTA CGG GGG	CTG TTT TCA GCG	GAC GGA ACG GTA	Ser Leu Arg
Ala Phe Leu Arg Gly	Leu Phe Ser Ala	Asp Gly Thr Val	
1190	1195	1200	
AGA GGA ATC CCA GAA Arg Gly Ile Pro Glu 1205	ATT AGA CTG ACA Ile Arg Leu Thr 1210	AGC GTT AAC AGA Ser Val Asn Arg 1215	GAG CTT AGT 3978 Glu Leu Ser
GAT GCC GTG AGA AAG	TTG CTG TGG CTG	GTT GGG GTC TCC	AAC TCA CTA 4026
Asp Ala Val Arg Lys	Leu Leu Trp Leu	Val Gly Val Ser	Asn Ser Leu
1220	1225	1230	1235
TTC ACC GAA ACC AAG Phe Thr Glu Thr Lys 1240	Pro Asn Arg Tyr	CTG GAG AAA GAA Leu Glu Lys Glu 1245	AGT GGA ACG 4074 Ser Gly Thr 1250
CAT TCG ATT CAC GTG	AGG ATA AAG AAC	Lys His Arg Phe	GCC GAT AGA 4122
His Ser Ile His Val	Arg Ile Lys Asn		Ala Asp Arg
1255	1260		1265

ATA GGC TTT CTC ATA Ile Gly Phe Leu Ile 1270	Asp Arg Lys Se 1275	er Thr Lys Leu S 1	er Glu Asn Leu 280
GGG GGA CAT ACA AAC Gly Gly His Thr Asn 1285	AAG AAG AGG GC Lys Lys Arg Al 1290	T TAC AAA TAT G a Tyr Lys Tyr A 1295	AT TTT GAC TTG 4218 sp Phe Asp Leu
GTA TAC CCC AGA AAA	ATC GAA GAG AT	TA ACC TAC GAC G	GC TAC GTC TAT 4266
Val Tyr Pro Arg Lys	Ile Glu Glu Il	e Thr Tyr Asp G	ly Tyr Val Tyr
1300	1305	1310	1315
GAC ATC GAG GTT GAG	Gly Thr His Ar	GG TTC TTC GCC A	AC GGA ATA CTC 4314
Asp Ile Glu Val Glu		rg Phe Phe Ala A	sn Gly Ile Leu
132		1325	1330
GTT CAC AAC <u>ACA</u> GAC	Gly Phe Phe Al	CA ACA ATC CCC G	GA GCG GAC GCC 4362
Val His Asn Thr Asp		a Thr Ile Pro G	ly Ala Asp Ala
1335		40	1345
GAG ACG GTC AAA AAG	AAG GCC AGG GA	u Phe Leu Asn T	AC ATT AAC CCC 4410
Glu Thr Val Lys Lys	Lys Ala Arg Gl		Yr Ile Asn Pro
1350	1355		360
AAG CTG CCC GGT CTC Lys Leu Pro Gly Leu 1365	CTC GAA CTC GA Leu Glu Leu Gl 1370	G TAC GAG GGC T u Tyr Glu Gly F 1375	TC TAC AGG CGC 4458 he Tyr Arg Arg
GGT TTC TTC GTA ACC	AAG AAG AAG TA	AC GCG GTG ATA G	AC GAG GAG GGC 4506
Gly Phe Phe Val Thr	Lys Lys Lys Ty	Yr Ala Val Ile A	sp Glu Glu Gly
1380	1385	1390	1395
AAG ATA ACG ACG CGC	Gly Leu Glu Il	CC GTC CGG CGC G	AC TGG AGT GAG 4554
Lys Ile Thr Thr Arg		e Val Arg Arg A	sp Trp Ser Glu
140		1405	1410
GTG GCT AAG GAG ACG Val Ala Lys Glu Thr 1415	Gin Ala Arg Va	ıl Leu Glu Ala I 120	le Leu Arg His 1425
GGT GAC GTC GAG GAG	GCC GTG AGG AT	.e Val Lys Glu V	TG ACG GAA AAG 4650
Gly Asp Val Glu Glu	Ala Val Arg II		al Thr Glu Lys
1430	1435		440
CTG AGC AAG TAC GAG Leu Ser Lys Tyr Glu 1445	GTT CCG CCA GA Val Pro Pro Gl 1450	AG AAG CTC GTC A LU Lys Leu Val I 1455	TC CAC GAG CAG 4698 le His Glu Gln
ATT ACC AGG GAG CTG	AAG GAC TAC AA	AG GCC ACC GGC (CCG CAC GTG GCC 4746
Ile Thr Arg Glu Leu	Lys Asp Tyr Ly	vs Ala Thr Gly F	Pro His Val Ala
1460	1465	1470	1475
ATA GCG AAG CGC CTC	Ala Ala Arg G	GG ATT AAG GTT (GC CCT GGG ACA 4794
Ile Ala Lys Arg Leu		Ly Ile Lys Val A	arg Pro Gly Thr
148		1485	1490
GTC ATC AGC TAC ATC Val Ile Ser Tyr Ile 1495	Val Leu Lys G	GT TCC GGC AGG A Ly Ser Gly Arg 1	TA GGG GAC AGG 4842 le Gly Asp Arg 1505

ACG Thr	ATA Ile	CCC Pro 151	FIIE	GAC Asp	GAG Glu	TTC Phe	GAC Asp 151	Pro	ACG Thr	AAG Lys	CAC His	AGG Arg 152	Tyr	GAT Asp	GCG Ala	4890
GAG Glu	TAC Tyr 152	TAC Tyr 5	ATC Ile	GAG Glu	AAC Asn	CAG Gln 1530	Val	CTG Leu	CCG Pro	GCG Ala	GTG Val 1539	Glu	AGA Arg	ATC Ile	CTC Leu	4938
AAG Lys 1540	Ala	TTC Phe	GGC Gly	TAC Tyr	AAG Lys 1549	Lys	GAG Glu	GAT Asp	TTG Leu	CGC Arg 1550	Tyr	CAG Gln	AAG Lys	ACG Thr	CGG Arg 1555	4986
GIn	Val	GGG Gly	Leu	GGG Gly 1560	Ala	TGG Trp	CTC Leu	AAA Lys	ATG Met 1569	Gly	AAG Lys	AAA Lys 1568				5028
AGGG	CAA	GCT T	Ľ													5039
(INFO (i) (ii) (ix)	C. (. T. C. (.	ARAC A) I YPE ARAC	CTRE LONG DE CTER NOM/	RIST UEUI MOLI IST CLE	FIQU R: 7 ECUL IQUE : AL	JES 74 E:	DE I acid prot	A S les éin	EQUE amir e	nés		MOCC	OCCUS	
		(xi)						LA	SEQU	JENC:	ES:	SEQ	ID	NO:	2 :	
Met 1	Ile	Leu	Asp	Thr 5	Asp	Tyr	Ile	Thr	Glu 10	Asp	Gly	Arg	Pro	Val 15	Ile	
Arg	Val	Phe	Lys 20	Lys	Glu	Asn	Gly	Glu 25	Phe	Lys	Ile	Glu	Tyr 30	Asp	Arg	
Asp	Phe	Glu 35	Pro	Tyr	Ile	Tyr	Ala 40	Leu	Leu	Lys	Asp	Asp 45	Ser	Ala	Ile	
Glu	Asp 50	Val	Lys	Lys	Ile	Thr 55	Ala	Ser	Arg	His	Gly 60	Thr	Thr	Val	Arg	
Val 65	Val	Arg	Ala	Gly	Lys 70	Val	Lys	Lys	Lys	Phe 75	Leu	Gly	Arg	Pro	Ile 80	
Glu	Val	Trp	Lys	Leu 85	Tyr	Phe	Thr	His	Pro 90	Gln	Asp	Val	Pro	Ala 95	Ile	
Arg	Asp	Lys	Ile 100	Arg	Glu	His	Pro	Ala 105	Val	Val	Asp	Ile	Tyr 110	Glu	Tyr	
Asp	Ile	Pro 115	Phe	Ala	Lys	Arg	Tyr 120	Leu	Ile	Asp	Lys	Gly 125	Leu	Ile	Pro	
Met	Glu 130	Gly	Asp	Glu	Glu	Leu 135	Lys	Met	Leu	Ala	Phe 140	Asp	Ile	Glu	Thr	
Leu 145	Tyr	His	Glu	Gly	Glu 150	Glu	Phe	Ala	Glu	Gly 155	Pro	Ile	Leu	Met	Ile 160	
Ser	Tyr	Ala	Asp	Glu 165	Glu	Gly	Ala	Arg	Val 170	Ile	Thr	Trp	Lys	Lys 175	Ile	

Asp	Leu	Pro	Tyr 180	Val	Asp	Val	Val	Ser 185	Thr	Glu	Lys	Glu	Met 190	Ile	Lys
Arg	Phe	Leu 195	Lys	Val	Val	Lys	Glu 200	Lys	Asp	Pro	Asp	Val 205	Leu	Ile	Thr
Tyr	Asn 210	Gly	Asp	Asn	Phe	Asp 215	Phe	Ala	Tyr	Leu	Lys 220	Lys	Arg	Ser	Glu
Lys 225	Leu	Gly	Val	Lys	Phe 230	Ile	Leu	Gly	Arg	Asp 235	Gly	Ser	Glu	Pro	Lys 240
Ile	Gln	Arg	Met	Gly 245	Asp	Arg	Phe	Ala	Val 250	Glu	Val	Lys	Gly	Arg 255	Ile
His	Phe	Asp	Leu 260	Tyr	Pro	Val	Ile	Arg 265	His	Thr	Ile	Asn	Leu 270	Pro	Thr
Tyr	Thr	Leu 275	Glu	Ala	Val	Tyr	Glu 280	Ala	Ile	Phe	Gly	Gln 285	Pro	Lys	Glu
Lys	Val 290	Tyr	Ala	Glu	Glu	Ile 295	Ala	Gln	Ala	Trp	Glu 300	Thr	Gly	Glu	Gly
Leu 305	Glu	Arg	Val	Ala	Arg 310	Tyr	Ser	Met	Glu	Asp 315	Ala	Lys	Val	Thr	Tyr 320
Glu	Leu	Gly	Arg	Glu 325	Phe	Phe	Pro	Met	Glu 330	Ala	Gln	Leu	Ser	Arg 335	Leu
17-1	C117	C1 ~	C			_									
vai	GIY	GIII	340	Phe	'I'rp	Asp	Val	Ser 345	Arg	Ser	Ser	Thr	Gly 350	Asn	Leu
			340 Tyr					345					350		
Val	Glu	Trp 355	340	Leu	Leu	Arg	Lys 360	345 Ala	Tyr	Glu	Arg	Asn 365	350 Glu	Leu	Ala
Val Pro	Glu Asn 370	Trp 355 Lys	Tyr	Leu Ser	Leu Gly	Arg Arg 375	Lys 360 Glu	345 Ala Leu	Tyr Glu	Glu Arg	Arg Arg 380	Asn 365 Arg	350 Glu Gly	Leu Gly	Ala Tyr
Val Pro Ala 385	Glu Asn 370 Gly	Trp 355 Lys Gly	Tyr Pro	Leu Ser Val	Leu Gly Lys 390	Arg Arg 375 Glu	Lys 360 Glu Pro	Ala Leu Glu	Tyr Glu Arg	Glu Arg Gly 395	Arg Arg 380 Leu	Asn 365 Arg Trp	350 Glu Gly Glu	Leu Gly Asn	Ala Tyr Ile 400
Val Pro Ala 385 Ala	Glu Asn 370 Gly Tyr	Trp 355 Lys Gly Leu	Tyr Pro Tyr	Leu Ser Val Phe 405	Leu Gly Lys 390 Arg	Arg Arg 375 Glu Ser	Lys 360 Glu Pro Leu	Ala Leu Glu Tyr	Tyr Glu Arg Pro 405	Glu Arg Gly 395 Ser	Arg Arg 380 Leu Ile	Asn 365 Arg Trp	350 Glu Gly Glu Ile	Leu Gly Asn Ser 410	Ala Tyr Ile 400
Val Pro Ala 385 Ala Asn	Glu Asn 370 Gly Tyr	Trp 355 Lys Gly Leu Ser	Tyr Pro Tyr Asp	Leu Ser Val Phe 405 Asp	Leu Gly Lys 390 Arg	Arg 375 Glu Ser Leu	Lys 360 Glu Pro Leu Asn	Ala Leu Glu Tyr Arg 420	Tyr Glu Arg Pro 405 Glu	Glu Arg Gly 395 Ser	Arg Arg 380 Leu Ile Cys	Asn 365 Arg Trp Ile	350 Glu Gly Glu Ile Glu 425	Leu Gly Asn Ser 410	Ala Tyr Ile 400 His
Val Pro Ala 385 Ala Asn Glu	Glu Asn 370 Gly Tyr Val	Trp 355 Lys Gly Leu Ser Pro 430	Tyr Pro Tyr Asp Pro 415	Leu Ser Val Phe 405 Asp	Leu Gly Lys 390 Arg Thr	Arg 375 Glu Ser Leu	Lys 360 Glu Pro Leu Asn Arg 435	Ala Leu Glu Tyr Arg 420 Phe	Tyr Glu Arg Pro 405 Glu Cys	Glu Arg Gly 395 Ser Gly Lys	Arg Arg 380 Leu Ile Cys	Asn 365 Arg Trp Ile Gly Phe 440	350 Glu Gly Glu Ile Glu 425 Pro	Leu Gly Asn Ser 410 Tyr	Ala Tyr Ile 400 His Asp
Val Pro Ala 385 Ala Asn Glu Ile	Glu Asn 370 Gly Tyr Val Ala Pro 445	Trp 355 Lys Gly Leu Ser Pro 430 Ser	Tyr Pro Tyr Asp Pro 415 Gin	Leu Ser Val Phe 405 Asp Val Leu	Leu Gly Lys 390 Arg Thr	Arg Arg 375 Glu Ser Leu His Asp 450	Lys 360 Glu Pro Leu Asn Arg 435 Leu	Ala Leu Glu Tyr Arg 420 Phe Leu	Tyr Glu Arg Pro 405 Glu Cys	Glu Arg Gly 395 Ser Gly Lys	Arg 380 Leu Ile Cys Asp Arg 455	Asn 365 Arg Trp Ile Gly Phe 440 Gln	350 Glu Gly Glu Ile Glu 425 Pro	Leu Gly Asn Ser 410 Tyr Gly Val	Ala Tyr Ile 400 His Asp Phe

Tyr Gly Tyr Ala Lys Ala Arg Trp Tyr Cys Lys Glu Cys Ala Glu Ser Val Thr Ala Trp Gly Arg Gln Tyr Ile Glu Thr Thr Met Arg Glu Ile Glu Glu Lys Phe Gly Phe Lys Val Leu Tyr Ala Asp Thr Asp Gly Phe 530 Phe Ala Thr Ile Pro Gly Ala Asp Ala Glu Thr Val Lys Lys Ala Arg Glu Phe Leu Asn Tyr Ile Asn Pro Lys Leu Pro Gly Leu Leu Glu Leu Glu Tyr Glu Gly Phe Tyr Arg Arg Gly Phe Phe Val Thr Lys Lys Lys Tyr Ala Val Ile Asp Glu Glu Gly Lys Ile Thr Thr Arg Gly Leu Glu Ile Val Arg Arg Asp Trp Ser Glu Val Ala Lys Glu Thr Gln Ala 615 Arg Val Leu Glu Ala Ile Leu Arg His Gly Asp Val Glu Glu Ala Val Arg Ile Val Lys Glu Val Thr Glu Lys Leu Ser Lys Tyr Glu Val Pro Pro Glu Lys Leu Val Ile His Glu Gln Ile Thr Arg Glu Leu Lys Asp 660 Tyr Lys Ala Thr Gly Pro His Val Ala Ile Ala Lys Arg Leu Ala Ala Arg Gly Ile Lys Val Arg Pro Gly Thr Val Ile Ser Tyr Ile Val Leu 695 Lys Gly Ser Gly Arg Ile Gly Asp Arg Thr Ile Pro Phe Asp Glu Phe Asp Pro Thr Lys His Arg Tyr Asp Ala Glu Tyr Tyr Ile Glu Asn Gln Val Leu Pro Ala Val Glu Arg Ile Leu Lys Ala Phe Gly Tyr Lys Lys 745 Glu Asp Leu Arg Tyr Gln Lys Thr Arg Gln Val Gly Leu Gly Ala Trp 760 Leu Lys Met Gly Lys Lys

- (2) INFORMATION POUR LA SEQ ID NO:3 :
 - (i) CARACTRERISTIQUES DE LA SEQUENCE: (A) LONGUEUR: 360 acides aminés
 - (ii) TYPE DE MOLECULE: protéine
 - (ix) CARACTERISTIQUES
 - (A) NOM/CLE: intéine I-Tfu-1
 - (xi) DESCRIPTION DE LA SEQUENCES: SEQ ID NO:3:
- Cys His Pro Ala Asp Thr Lys Val Ile Val Lys Gly Lys Gly Val Val 1 5 10 15
- Asn Ile Ser Glu Val Arg Glu Gly Asp Tyr Val Leu Gly Ile Asp Gly 20 25 30
- Trp Gln Lys Val Gln Arg Val Trp Glu Tyr Asp Tyr Glu Gly Glu Leu 35 40 45
- Val Asn Ile Asn Gly Leu Lys Cys Thr Pro Asn His Lys Leu Pro Val 50 55 60
- Val Arg Arg Thr Glu Arg Gln Thr Ala Ile Arg Asp Ser Leu Ala Lys 70 75 80
- Ser Phe Leu Thr Lys Lys Val Lys Gly Lys Leu Ile Thr Thr Pro Leu 85 90 95
- Phe Glu Lys Ile Gly Lys Ile Glu Arg Glu Asp Val Pro Glu Glu Glu 100 105 110
- Ile Leu Lys Gly Glu Leu Ala Gly Ile Ile Leu Ala Glu Gly Thr Leu 115 120 125
- Leu Arg Lys Asp Val Glu Tyr Phe Asp Ser Ser Arg Gly Lys Lys Arg 130 135 140
- Val Ser His Gln Tyr Arg Val Glu Ile Thr Val Gly Ala Gln Glu Glu 145 150 155 160
- Asp Phe X Arg Arg Ile Val Tyr Ile Phe Glu Arg Leu Phe Gly Val 165 170 175
- Thr Pro Ser Val Tyr Arg Lys Lys Asn Thr Asn Ala Ile Thr Phe Lys 180 185 190
- Val Ala Lys Lys Glu Val Tyr Leu Arg Val Arg Glu Ile Met Asp Gly 195 200 205
- Ile Glu Asn Leu His Ala Pro Ser Val Leu Arg Gly Phe Phe Glu Gly 210 215 220
- Asp Gly Ser Val Asn Lys Val Arg Lys Thr Val Val Val Asn Gln Gly 225 230 235 240
- Thr Asn Asn Glu Trp Lys Ile Glu Val Val Ser Lys Leu Leu Asn Lys 245 250 255
- Leu Gly Ile Pro His Arg Arg Tyr Thr Tyr Asp Tyr Thr Glu Arg Glu 260 265 270

Lys Thr Met Thr Thr His Ile Leu Glu Ile Ala Gly Arg Asp Gly Leu 275 280 285

Ile Leu Phe Gln Thr Ile Val Gly Phe Ile Ser Thr Glu Lys Asn Met 290 295 300

Ala Leu Glu Glu Ala Ile Arg Asn Arg Glu Val Asn Arg Leu Glu Asn 305 310 315 320

Asn Ala Phe Tyr Thr Leu Ala Asp Phe Thr Ala Lys Thr Glu Tyr Tyr 325

Lys Gly Lys Val Tyr Asp Leu Thr Leu Glu Gly Thr Pro Tyr Tyr Phe 340 345 350

Ala Asn Gly Ile Leu Thr His Asn 355 360

- (2) INFORMATION POUR LA SEQ ID NO:4 :
 - (i) CARACTRERISTIQUES DE LA SEQUENCE:(A) LONGUEUR: 389 acides aminés
 - (ii) TYPE DE MOLECULE: protéine
 - (ix) CARACTERISTIQUES
 - (A) NOM/CLE: intéine I-Tfu-2
 - (xi) DESCRIPTION DE LA SEQUENCES: SEQ ID NO:4:

Ser Val Thr Gly Asp Thr Glu Val Thr Ile Arg Arg Asn Gly Arg Ile
1 10 15

Glu Phe Val Pro Ile Glu Lys Leu Phe Glu Arg Val Asp His Arg Val 20 25 30

Gly Glu Lys Glu Tyr Cys Val Leu Gly Gly Val Glu Ala Leu Thr Leu 35 40 45

Asp Asn Arg Gly Arg Leu Val Trp Lys Lys Val Pro Tyr Val Met Arg 50 55 60

His Lys Thr Asp Lys Arg Ile Tyr Arg Val Trp Phe Thr Asn Ser Trp 65 70 75 80

Tyr Leu Asp Val Thr Glu Asp His Ser Leu Ile Gly Tyr Leu Asn Thr 85 90 95

Ser Lys Val Lys Pro Gly Lys Pro Leu Lys Glu Arg Leu Val Glu Val 100 105 110

Lys Pro Glu Glu Leu Gly Gly Lys Val Lys Ser Leu Ile Thr Pro Asn 115 120 125

Arg Pro Ile Ala Arg Thr Ile Lys Ala Asn Pro Ile Ala Val Lys Leu 130 135 140

Trp Glu Leu Ile Gly Leu Leu Val Gly Asp Gly Asn Trp Gly Gly Gln 145 150 155 160

Ser Asn Trp Ala Lys Tyr Tyr Val Gly Leu Ser Cys Gly Leu Asp Lys 165 170 175

Ala	Glu	Ile	Glu 180	Arg	Lys	Val	Leu	Asn 185	Pro	Leu	Arg	Glu	Ala 190	Ser	Val
Ile	Ser	Asn 195	Tyr	Tyr	Asp	Lys	Ser 200	Lys	Lys	Gly	Asp	Val 205	Ser	Ile	Leu
Ser	Lys 210	Trp	Leu	Ala	Gly	Phe 215	Met	Val	Lys	Tyr	Phe 220	Lys	Asp	Glu	Asn
Gly 225	Asn	Lys	Ala	Ile	Pro 230	Ser	Phe	Met	Phe	Asn 235	Leu	Pro	Arg	Glu	Tyr 240
Ile	Glu	Ala	Phe	Leu 245	Arg	Gly	Leu	Phe	Ser 250	Ala	Asp	Gly	Thr	Val 255	Ser
Leu	Arg	Arg	Gly 260	Ile	Pro	Glu	Ile	Arg 265	Leu	Thr	Ser	Val	Asn 270	Arg	Glu
Leu	Ser	Asp 275	Ala	Val	Arg	Lys	Leu 280	Leu	Trp	Leu	Val	Gly 285	Val	Ser	Asn
Ser	Leu 290	Phe	Thr	Glu	Thr	Lys 295	Pro	Asn	Arg	Tyr	Leu 300	Glu	Lys	Glu	Ser
Gly 305	Thr	His	Ser	Ile	His 310	Val	Arg	Ile	Lys	Asn 315	Lys	His	Arg	Phe	Ala 320
Asp	Arg	Ile	Gly	Phe 325	Leu	Ile	Asp	Arg	Lys 330	Ser	Thr	Lys	Leu	Ser 335	Glu
Asn	Leu	Gly	Gly 340	His	Thr	Asn	Lys	Lys 345	Arg	Ala	Tyr	Lys	Tyr 350	Asp	Phe
Asp	Leu	Val 355	Tyr	Pro	Arg	Lys	Ile 360	Glu	Glu	Ile	Thr	Tyr 365	Asp	Gly	Tyr
Val	Tyr 370	Asp	Ile	Glu	Val	Glu 375	Gly	Thr	His	Arg	Phe 380	Phe	Ala	Asn	Gly
Ile	Leu	Val	His	Asn											

20

25

30

REVENDICATIONS

- 1) ADN polymérase purifiée thermostable d'archabactéries de l'espèce *Thermococcus fumicolans* ayant un poids moléculaire de l'ordre de 89 000 daltons et ses dérivés enzymatiquement équivalents.
- 2) ADN polymérase selon la revendication 1 dont la séquence en acides aminés est représentée dans la liste de séquence en annexe sous le numéro SEQ ID NO:1 ou un fragment de celle-ci ou encore un assemblage de tels fragments.
- 3) ADN polymérase selon la revendication 2 dont 15 la séquence en acides aminés est représentée dans la liste de séquence en annexe sous le numéro SEQ ID NO:2.
 - 4) Une séquence d'ADN constituée par ou comprenant la séquence codant pour une ADN polymérase selon quelconque des revendications 1 à 3.
 - 5) Une séquence d'ADN selon la revendication 4 constituée par ou comprenant la séquence comprise entre les nucléotides 357 à 5028 de la séquence SED ID NO: 1, ou un fragment de celle-ci ou encore un assemblage de tels fragments.
 - 6) Une séquence d'ADN selon l'une des revendications 4 à 5 constituée par ou comprenant les nucléotides 357 à 1674 et 2755 à 3156 et 4324 à 5028 de la séquence d'ADN représentée dans la liste de séquences en annexe sous le numéro SED ID NO: 1.
- 7) Un vecteur contenant la séquence d'ADN de l'une quelconque des revendications 4 à 6.

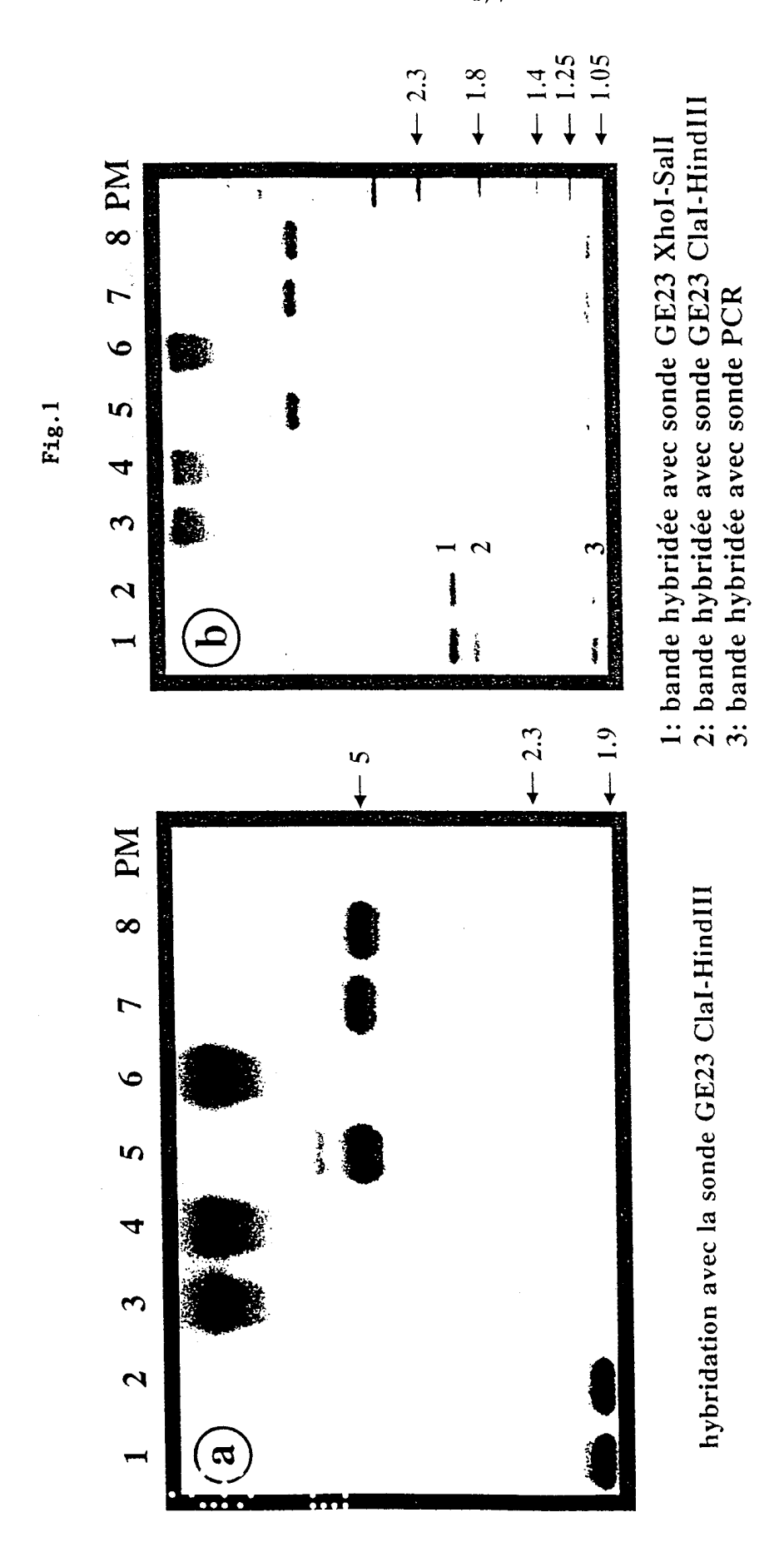
- 8) Un hôte transformé par un vecteur selon la revendication 7.
- 9) Procédé de préparation d'une ADN polymérase thermostable d'archaebactéries de l'espèce Thermococcus fumicolans, caractérisé en ce que l'on cultive l'hôte selon la revendication 8 dans des conditions permettant l'expression de ladite ADN polymérase et en ce que l'on extrait et récupére celle-ci par tout moyen approprié.

5

10) Procédé d'amplification enzymatique d'une séquence d'acide nucléique caractérisé en ce que l'on met en oeuvre une ADN polymérase thermostable selon l'une quelconque des revendications 1 à 3.

15

11) Intéine purifiée thermostable d'archaebacteries de l'espèce *Thermococcus fumicolans*.



Enzymes de restrictiona utilisées:

1: HindIII-HindIII; 2: HindIII-Xbal; 3: Pstl-Pstl; 4: Pstl-Xbal; 5: Pstl-Xhol; 6: Xbal-Xbal; 7: Xbal-Xhol; 8: Xhol-Xhol; PM= marqueur de poids moléculaire

FEUILLE RECTIFIEE (REGLE 91) ISA/EP

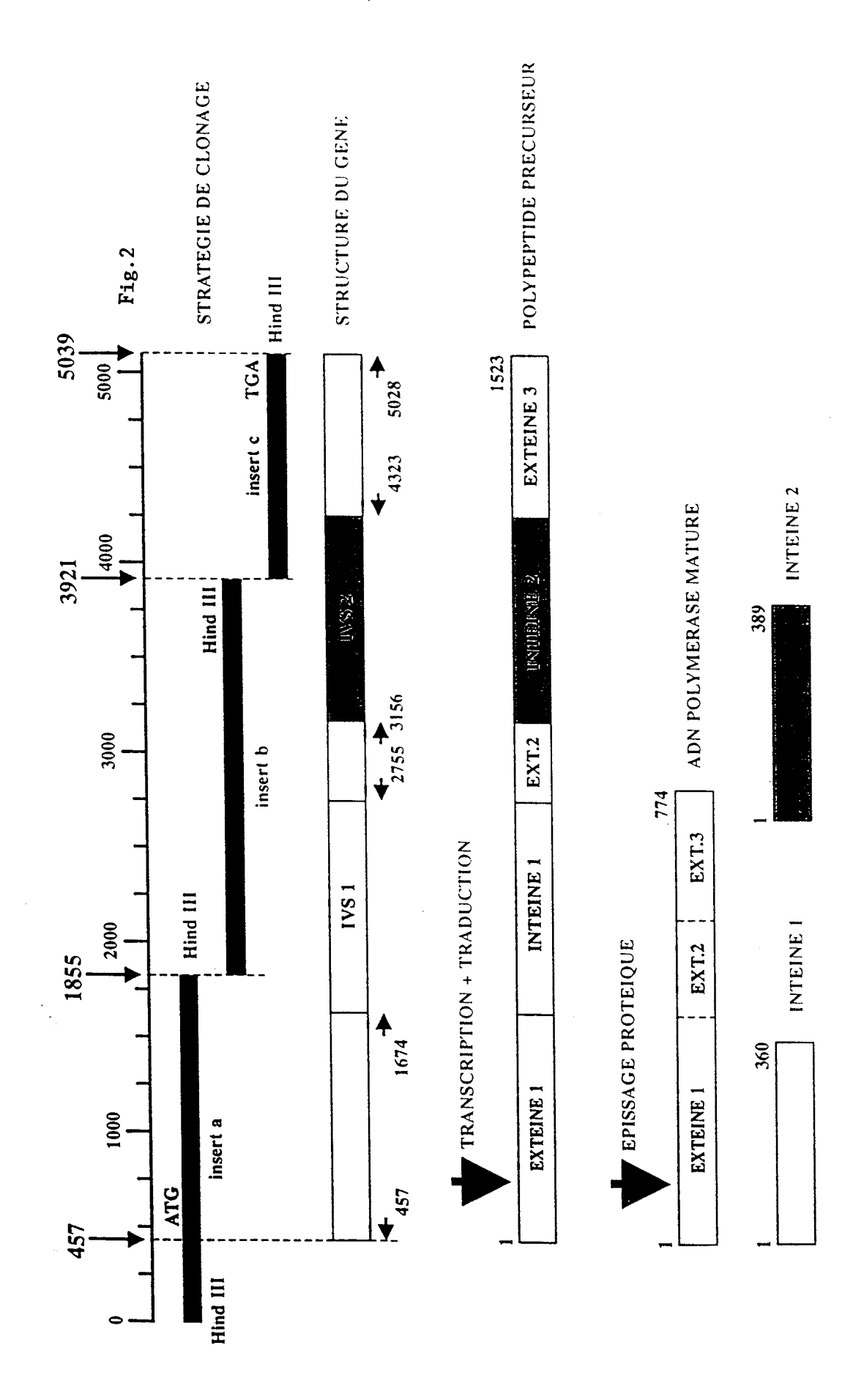
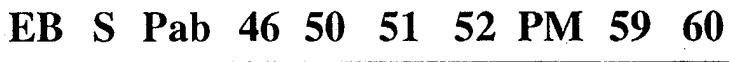
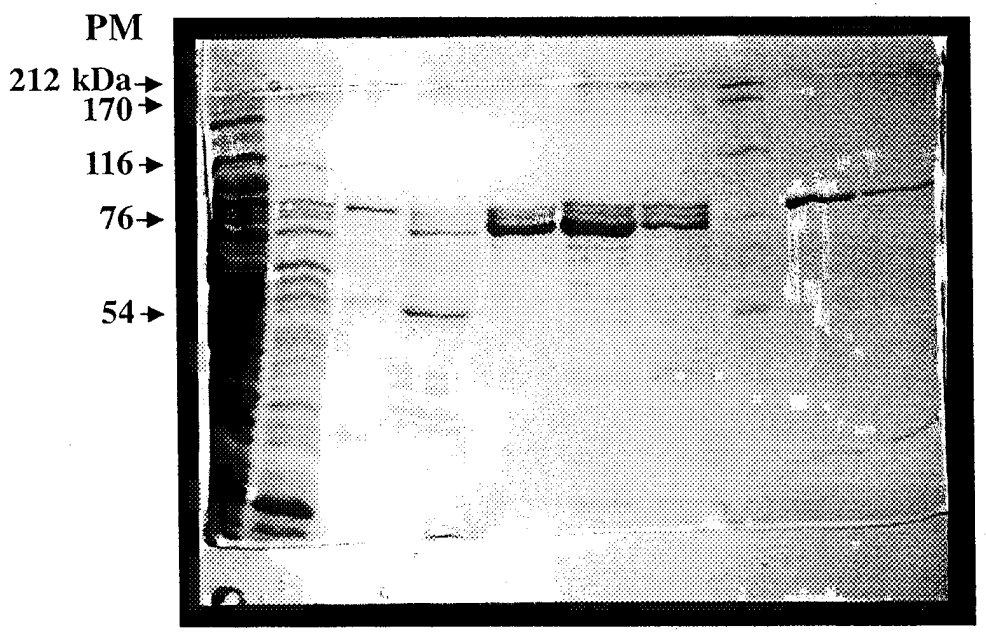
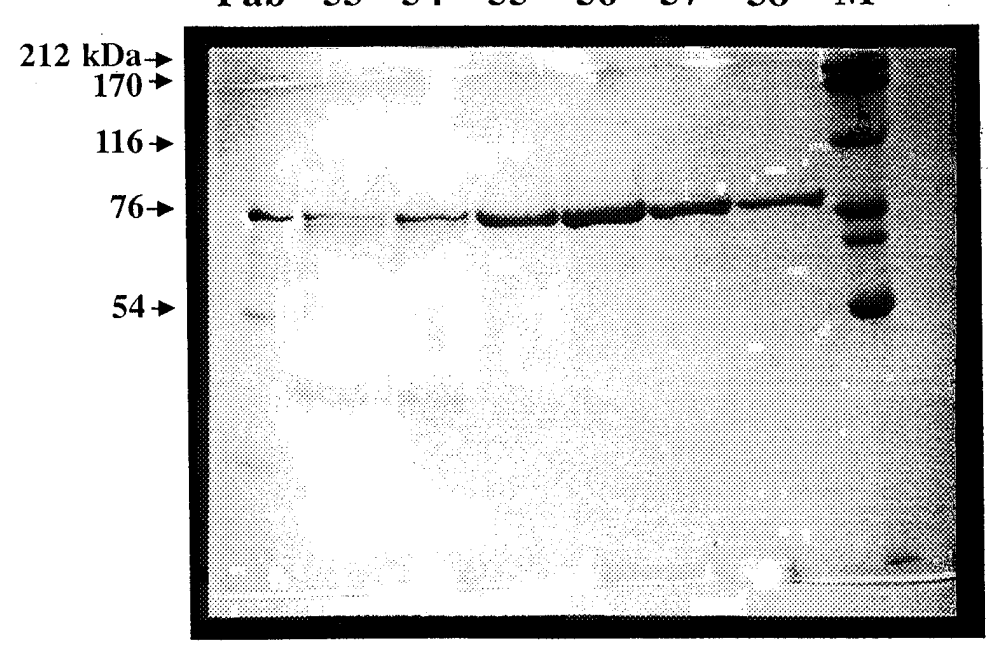


Fig.3





Pab 53 54 55 56 57 58 M



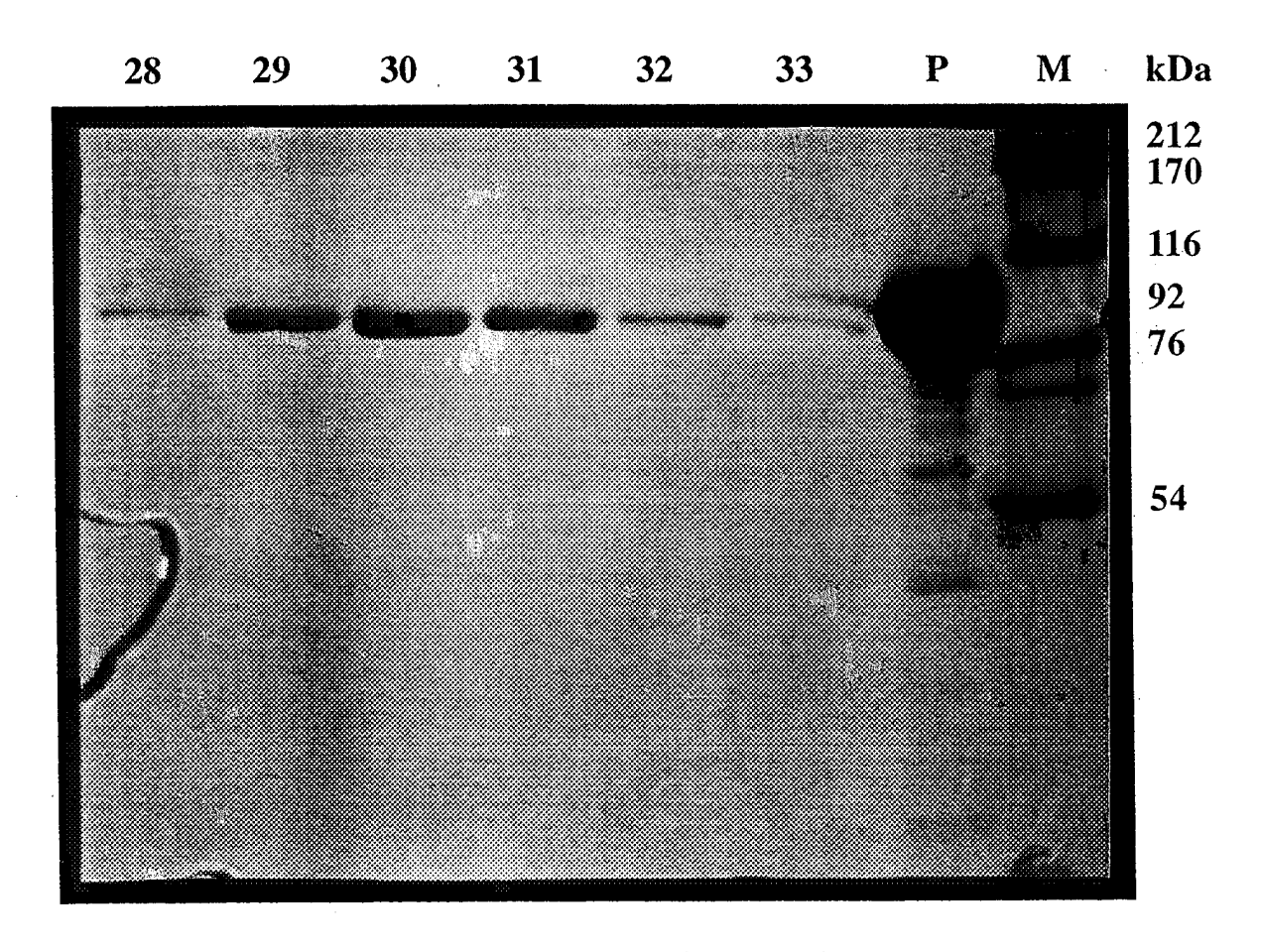
EB = extrait brut de sonication S = surnageant chauffé Pab ≅ 50U de Pab

PM = poids moléculaire en kDa

FEUILLE DE REMPLACEMENT (REGLE 26)

4/7

Fig.4

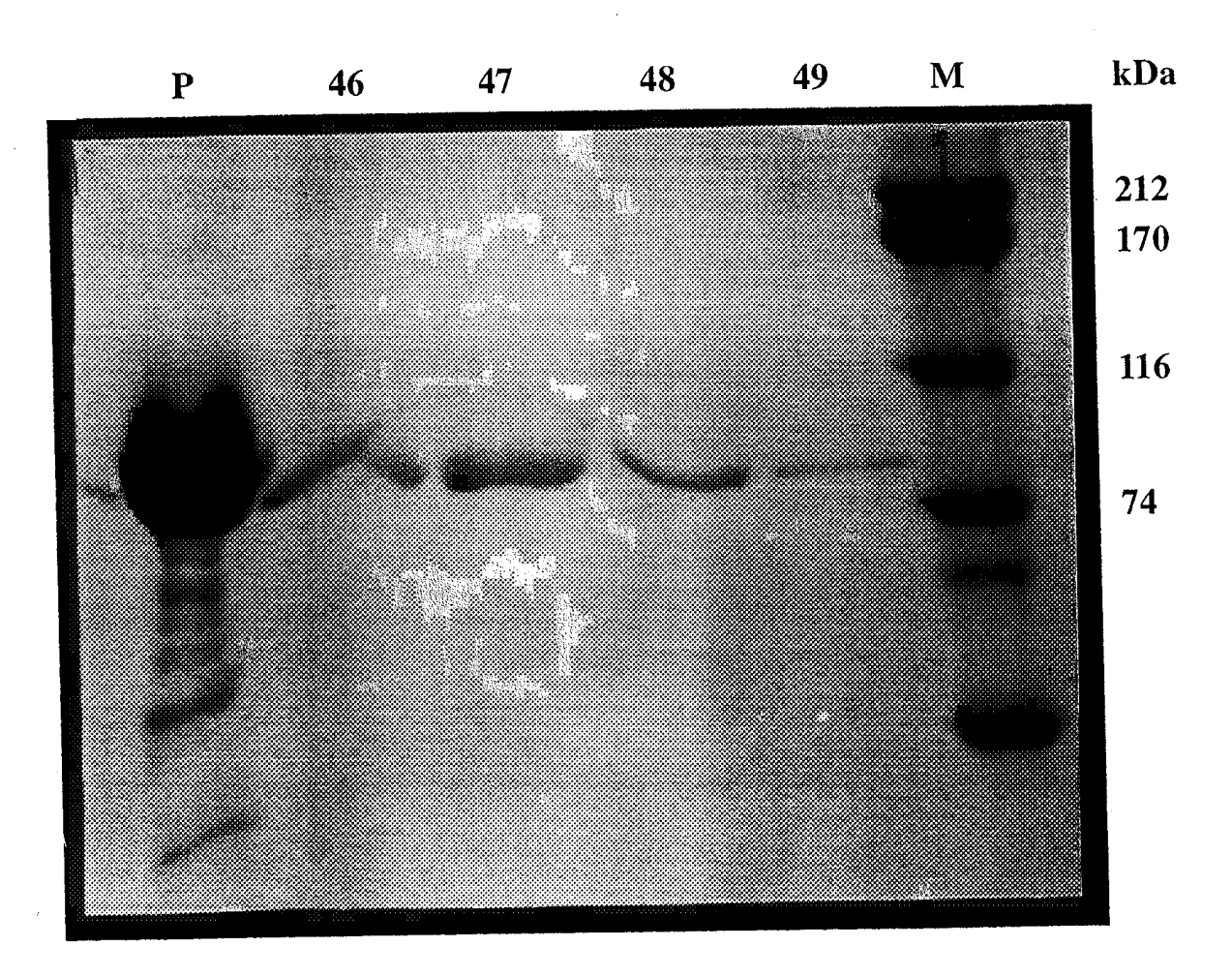


28, 29, 30, 31, 32, 33: fractions après la deuxième Bleue

P: phosphorylase B (92 kDa)

M: marqueur de poids moléculaire

Fig.5

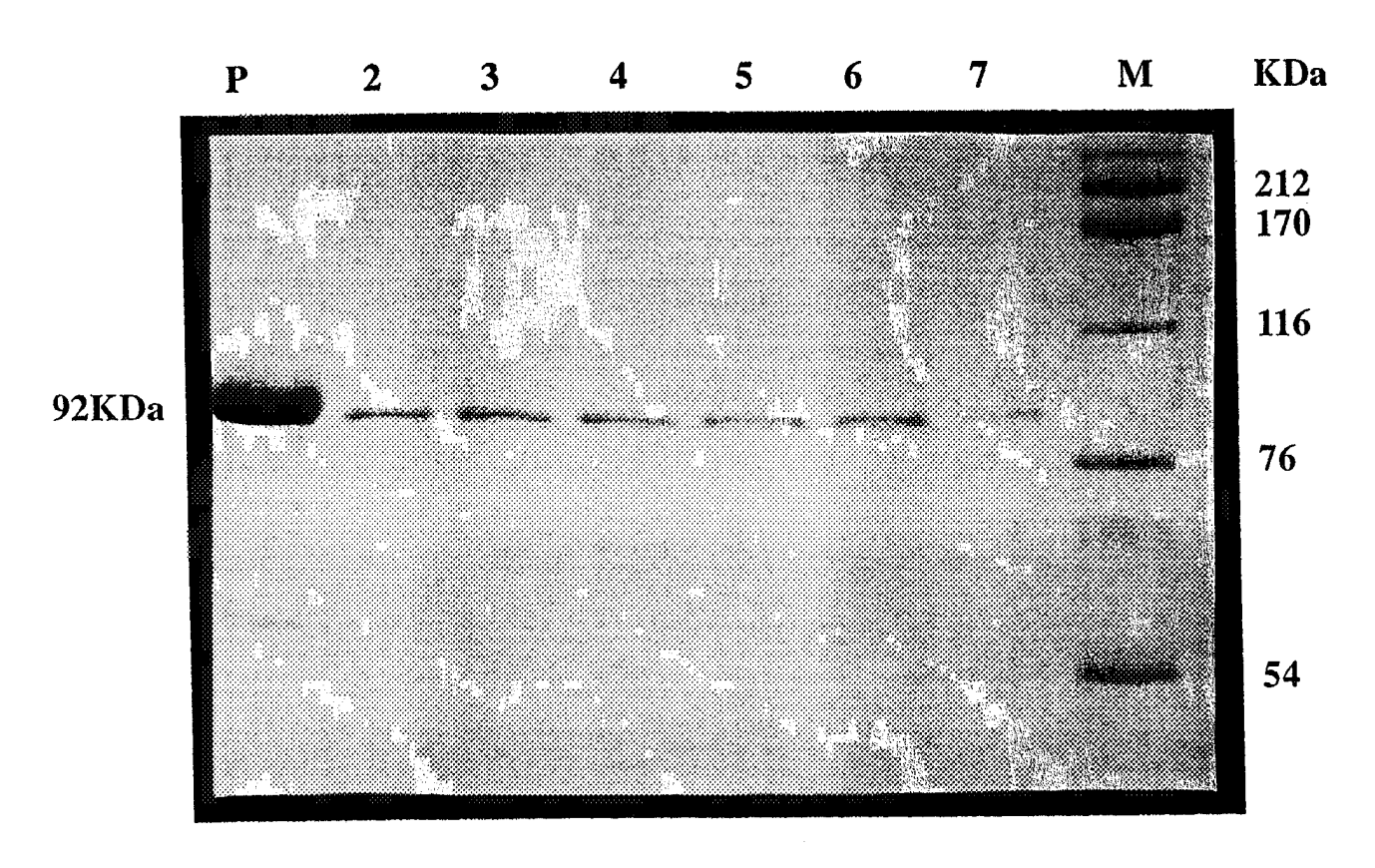


P: phosphorylase B (92 kDa)

46, 47, 48, 49: fractions après phosphocellulose

M: marqueur de poids moléculaire

Fig.6



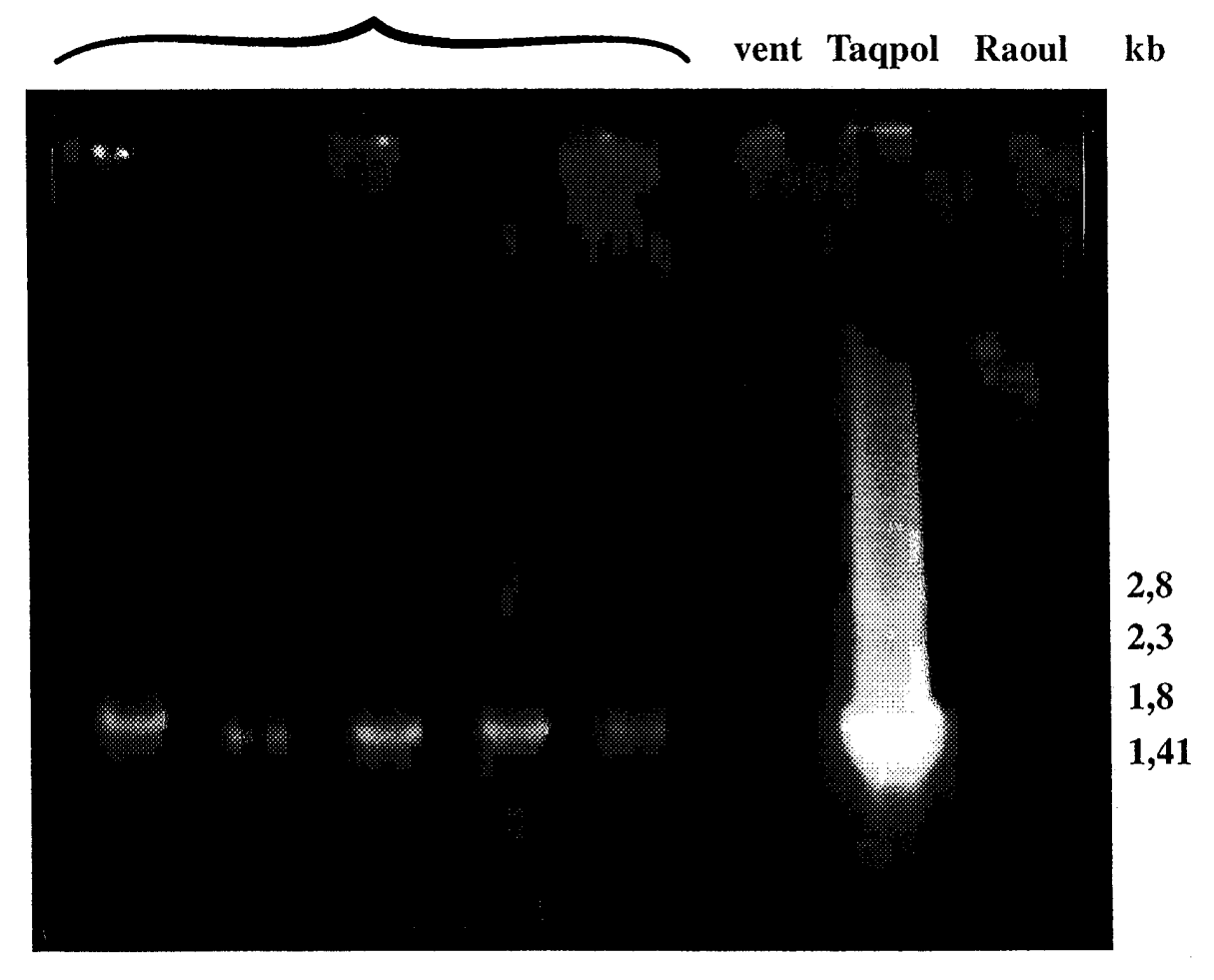
P: phosphorylase B (92 kDa)

2, 3, 4, 5, 6, 7: fractions d'exclusions sur MonoQ

M: marqueur de poids moléculaire

Fig.7

fractions d'exclusion de la MonoQ



INTERNATIONAL SEARCH REPORT

International Application No PCT/FR 97/00761

A. CLASSIF IPC 6	C12N9/12 //C12N15/54		
According to	International Patent Classification (IPC) or to both national classific	ation and IPC	
B. FIELDS			
IPC 6	cumentation searched (classification system followed by classificat C12N	ion symbols)	
Documentat	ion searched other than minimum documentation to the extent that s	such documents are included in the fields sea	arched
Electronic da	ata base consulted during the international search (name of data ba	ase and, where practical, search terms used)	
C. DOCUME	ENTS CONSIDERED TO BE RELEVANT		
Category °	Citation of document, with indication, where appropriate, of the re	levant passages	Relevant to claim No.
Х	PIETROKOVSKI S: "A new intein i cyanobacteria and its significar spread of inteins"		11
	TRENDS IN GENETICS,		
	vol. 12, no. 8, August 1996, page 287-288 XP004037128 see the whole document		
		-/	
X Furti	ner documents are listed in the continuation of box C.	X Patent family members are listed	in annex.
° Special ca	tegories of cited documents :	"T" later document published after the inte	
consid	ent defining the general state of the art which is not lered to be of particular relevance	or priority date and not in conflict with cited to understand the principle or th invention	
filing d		"X" document of particular relevance; the cannot be considered novel or canno	
which citation	ent which may throw doubts on priority claim(s) or is cited to establish the publication date of another n or other special reason (as specified)	involve an inventive step when the do "Y" document of particular relevance; the cannot be considered to involve an in	claimed invention ventive step when the
other	ent referring to an oral disclosure, use, exhibition or means	document is combined with one or m ments, such combination being obvio in the art.	
later ti	ent published prior to the international filing date but nan the priority date claimed	*&* document member of the same patent	family
Date of the	actual completion of the international search	Date of mailing of the international sea	,
9	December 1997	0 9.0	1/ 20
Name and r	nailing address of the ISA European Patent Office, P.B. 5818 Patentlaan 2	Authorized officer	****
	NL - 2280 HV Rijswijk Tel. (+31-70) 340-2040, Tx. 31 651 epo nl,	Panzica, G	
I .	Fax: (+31-70) 340-3016	i ulizica, u	

INTERNATIONAL SEARCH REPORT

International Application No
PCT/FR 97/00761

0.40	Aire Page Market Control of the Cont	PC1/FR 9//00/61
C.(Continua Category °	ation) DOCUMENTS CONSIDERED TO BE RELEVANT Citation of document, with indication, where appropriate, of the relevant passages	Relevant to claim No.
Y	GODFROY A. ET AL.: "Thermococcus fumicolans sp. nov.: a new hyperthermophilic archaeon isolated from a deep-sea hydrothermal vent in the north Fiji basin" INTERNATIONAL JOURNAL OF SYSTEMATIC BACTERIOLOGY, vol. 46, no. 4, October 1996, WASHINGTON US, pages 1113-1119, XP002049496	1-10
Y	cited in the application see the whole document EP 0 701 000 A (NEW ENGLAND BIOLABS INC) 13 March 1996 see page 11, line 20 - page 13, line 54	1-10
Y	PATENT ABSTRACTS OF JAPAN vol. 096, no. 007, 31 July 1996 & JP 08 070864 A (TOYOBO CO LTD), 19 March 1996, see abstract	11
Y	HODGES R. A. ET AL: "PROTEIN SPLICING REMOVES INTERVENING SEQUENCES IN AN ARCHAEA DNA POLYMERASE" NUCLEIC ACIDS RESEARCH, vol. 20, no. 23, 1992, pages 6153-6157, XP002033279 cited in the application see the whole document	11
A	PERLER F. B. ET AL: "INTERVENING SEQUENCES IN AN ARCHAEA DNA POLYMERASE GENE" PROCEEDINGS OF THE NATIONAL ACADEMY OF SCIENCES OF USA, vol. 89, June 1992, pages 5577-5581, XP002033280	11
A	EP 0 602 899 A (NEW ENGLAND BIOLABS INC) 22 June 1994 see abstract see page 4, line 40 - page 5, line 44	11

INTERNATIONAL SEARCH REPORT

Information on patent family members

International Application No PCT/FR 97/00761

Patent document cited in search report	Publication date	Patent family member(s)	Publication date
EP 0701000 A	13-03-96	JP 8168376 A	02-07-96
EP 0602899 A	22-06-94	JP 7070200 A CA 2110938 A	14-03-95 10-06-94

RAPPORT DE RECHERCHE INTERNATIONALE

Del ande Internationale No PCT/FR 97/00761

PCT/FR 97/00761 A. CLASSEMENT DE L'OBJET DE LA DEMANDE CIB 6 C12N9/12 //C12N //C12N15/54 Selon la classification internationale des brevets (CIB) ou à la fois selon la classification nationale et la CIB B. DOMAINES SUR LESQUELS LA RECHERCHE A PORTE Documentation minimale consultée (système de classification suivi des symboles de classement) CIB 6 C12N Documentation consultée autre que la documentation minimale dans la mesure où ces documents relèvent des domaines sur lesquels a porté la recherche Base de données électronique consultée au cours de la recherche internationale (nom de la base de données, et si cela est réalisable, termes de recherche utilisés) C. DOCUMENTS CONSIDERES COMME PERTINENTS Catégorie ° Identification des documents cités, avec, le cas échéant, l'indication des passages pertinents no, des revendications visées PIETROKOVSKI S: "A new intein in X 11 cyanobacteria and its significance for the spread of inteins" TRENDS IN GENETICS, vol. 12, no. 8, août 1996, page 287-288 XP004037128 voir le document en entier -/--Voir la suite du cadre C pour la fin de la liste des documents Χl X Les documents de familles de brevets sont indiqués en annexe ° Catégories spéciales de documents cités: "T" document ultérieur publié après la date de dépôt international ou la date de priorité et n'appartenenant pas à l'état de la technique pertinent, mais cité pour comprendre le principe "A" document définissant l'état général de la technique, non considéré comme particulièrement pertinent ou la théorie constituant la base de l'invention "E" document antérieur, mais publié à la date de dépôt international "X" document particulièrement pertinent; l'invention revendiquée ne peut ou après cette date être considérée comme nouvelle ou comme impliquant une activité "L" document pouvant jeter un doute sur une revendication de inventive par rapport au document considéré isolément priorité ou cité pour déterminer la date de publication d'une autre citation ou pour une raison spéciale (telle qu'indiquée) "Y" document particulièrement pertinent; l'invention revendiquée ne peut être considérée comme impliquant une activité inventive "O" document se référant à une divulgation orale, à un usage, à lorsque le document est associé à un ou plusieurs autres une exposition ou tous autres moyens documents de même nature, cette combinaison étant évidente pour une personne du métier document publié avant la date de dépôt international, mais postérieurement à la date de priorité revendiquée "&" document qui fait partie de la même famillede brevets Date à laquelle la recherche internationale a été effectivement achevée Date d'expédition du présent rapport de recherche internationale 0 9, 01, 98 9 décembre 1997 Nom et adresse postale de l'administration chargée de la recherche internationale Fonctionnaire autorisé Office Européen des Brevets, P.B. 5818 Patentlaan 2 NL - 2280 HV Rijswijk Tel. (+31-70) 340-2040, Tx. 31 651 epo nl, Fax: (+31-70) 340-3016 Panzica, G

RAPPORT DE RECHERCHE INTERNATIONALE

Demande Internationale No
PCT/FR 97/00761

		PC1/FR 97/00/61			
C.(suite) DOCUMENTS CONSIDERES COMME PERTINENTS Catégorie ° Identification des documents cités, avec, le cas échéant, l'indication des passages pertinents no. des revendications visée					
	teoritiodisis des deciments cites, avec, ie cas echeant, i mucation des passages p	ertificitis	no. des revendications visees		
Y	GODFROY A. ET AL.: "Thermococcus fumicolans sp. nov.: a new hyperthermophilic archaeon isolated from a deep-sea hydrothermal vent in the north Fiji basin" INTERNATIONAL JOURNAL OF SYSTEMATIC BACTERIOLOGY, vol. 46, no. 4, octobre 1996, WASHINGTON US, pages 1113-1119, XP002049496 cité dans la demande voir le document en entier		1-10		
Υ	EP 0 701 000 A (NEW ENGLAND BIOLABS INC) 13 mars 1996 voir page 11, ligne 20 - page 13, ligne 54		1-10		
Υ	PATENT ABSTRACTS OF JAPAN vol. 096, no. 007, 31 juillet 1996 & JP 08 070864 A (TOYOBO CO LTD), 19 mars 1996, voir abrégé		11		
Y	HODGES R. A. ET AL: "PROTEIN SPLICING REMOVES INTERVENING SEQUENCES IN AN ARCHAEA DNA POLYMERASE" NUCLEIC ACIDS RESEARCH, vol. 20, no. 23, 1992, pages 6153-6157, XP002033279 cité dans la demande voir le document en entier		11		
A	PERLER F. B. ET AL: "INTERVENING SEQUENCES IN AN ARCHAEA DNA POLYMERASE GENE" PROCEEDINGS OF THE NATIONAL ACADEMY OF SCIENCES OF USA, vol. 89, juin 1992, pages 5577-5581, XP002033280		11		
A	EP 0 602 899 A (NEW ENGLAND BIOLABS INC) 22 juin 1994 voir abrégé voir page 4, ligne 40 - page 5, ligne 44		11		

RAPPORT DE RECHERCHE INTERNATIONALE

Renseignements relatifs aux membres de familles de brevets

Deniande Internationale No
PCT/FR 97/00761

Document brevet cité au rapport de recherche	Date de publication	Membre(s) de la famille de brevet(s)	Date de publication
EP 0701000 A	13-03-96	JP 8168376 A	02-07-96
EP 0602899 A	22-06-94	JP 7070200 A CA 2110938 A	14-03-95 10-06-94